

2018/3/29-30

研究会「宇宙論における高次統計」

@基研

バイスペクトルと宇宙論

樽家 篤史

バイスペクトルとは？

アンサンブル平均

$$\langle \delta(\mathbf{k}_1)\delta(\mathbf{k}_2)\delta(\mathbf{k}_3) \rangle = (2\pi)^3 \delta_D(\mathbf{k}_1 + \mathbf{k}_2 + \mathbf{k}_3) B(\mathbf{k}_1, \mathbf{k}_2, \mathbf{k}_3)$$

密度ゆらぎ

- 3点相関関数のフーリエ版
- 多点統計量の中で2点統計に次いで単純な統計量
- 非ガウス性を表す統計指標

パワースペクトルに次いで豊富な宇宙論情報を含んでいる

次世代大規模構造観測による宇宙論研究で重要な統計量

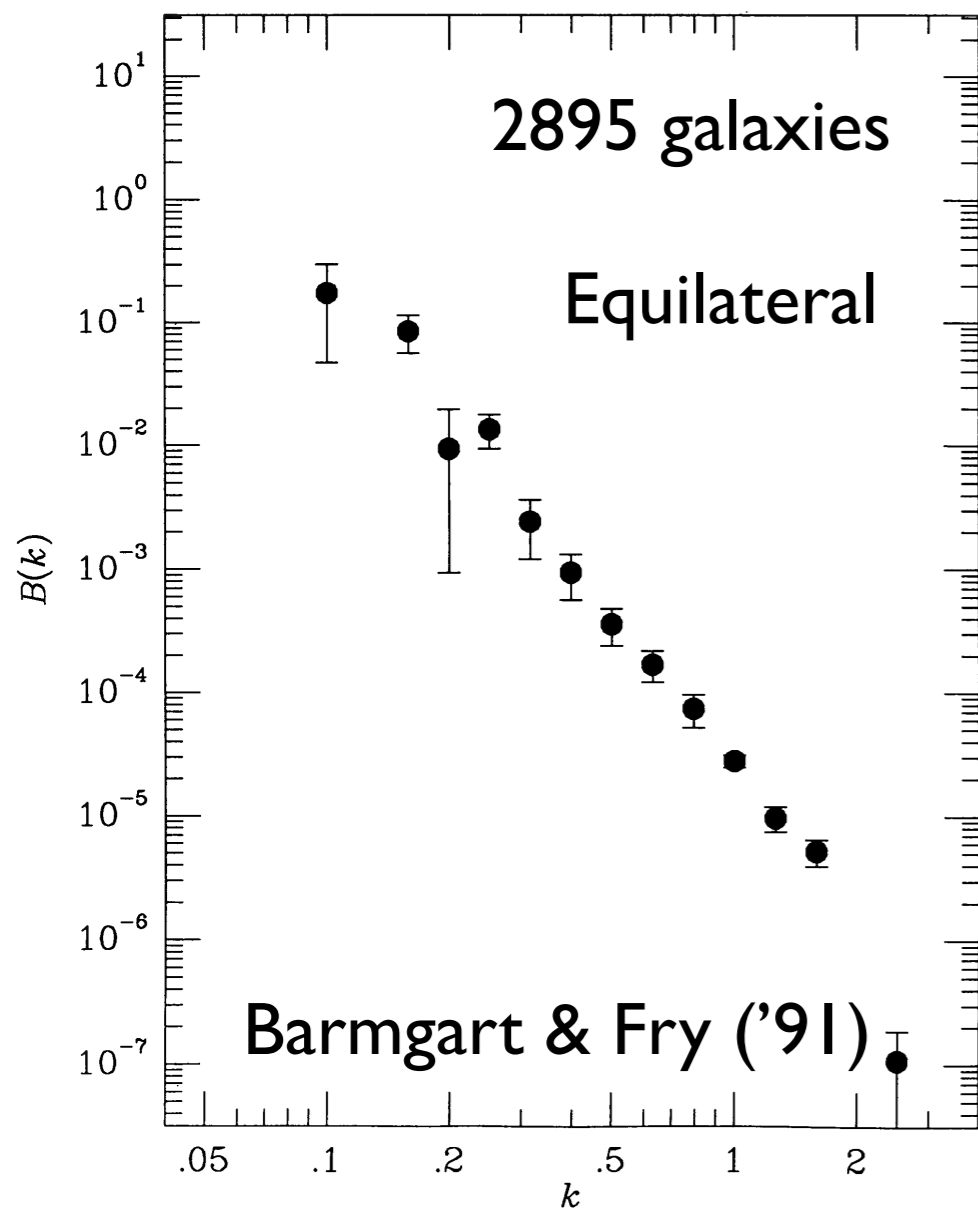
今回の研究会
の狙い

技術的・理論的な課題を洗い出す

初期の観測

Peebles ('75), Peebles & Groth ('75) (角度) 3点相関

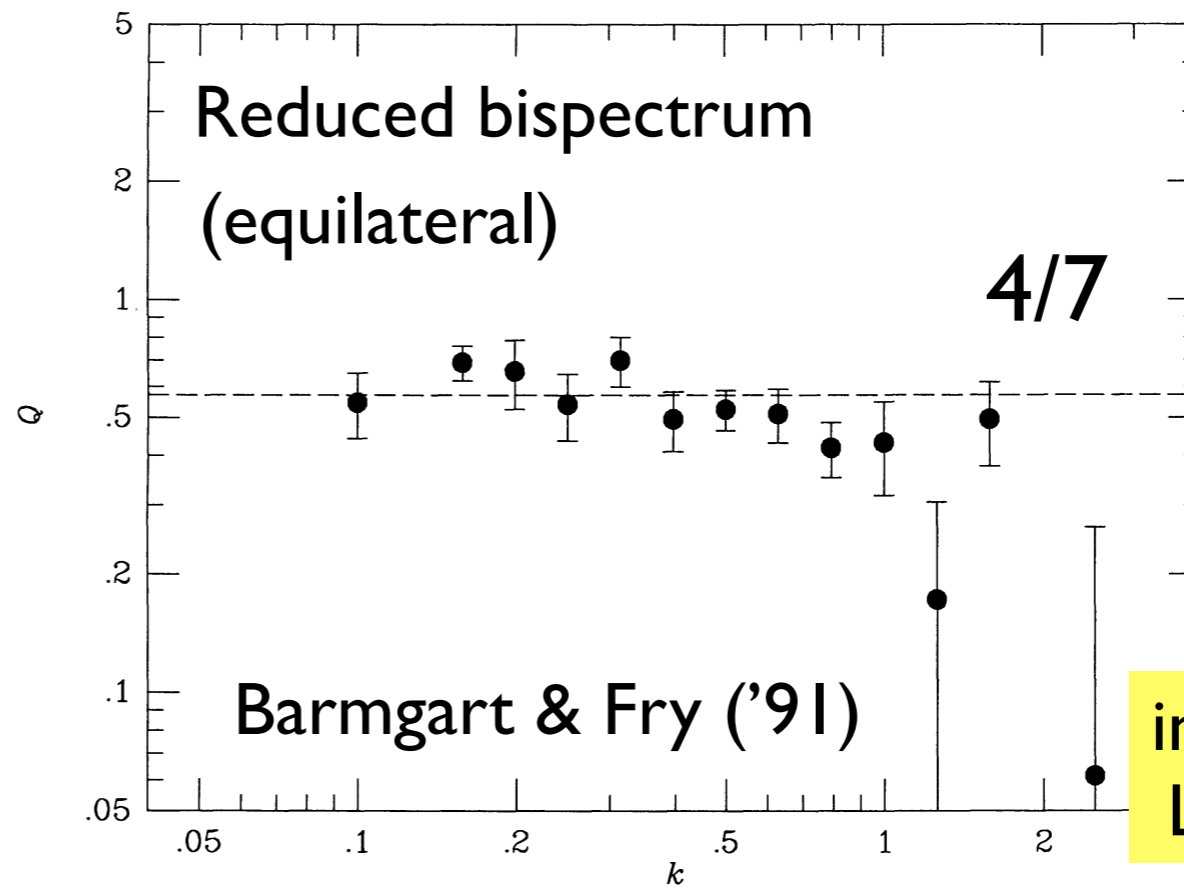
Barmgart & Fry ('91) (3次元) バイスペクトル



Sample	M_c	D	N
CfA 1.....	$-17.5 + 5 \log h$	$25h^{-1}$ Mpc	407
CfA 2.....	$-18.5 + 5 \log h$	$40h^{-1}$ Mpc	332
CfA 3.....	$-19.5 + 5 \log h$	$64h^{-1}$ Mpc	189
GH 1.....	$-18.6 + 5 \log h$	$65h^{-1}$ Mpc	878
GH 2.....	$-19.4 + 5 \log h$	$94h^{-1}$ Mpc	659
GH 3.....	$-19.9 + 5 \log h$	$119h^{-1}$ Mpc	430

CfA survey

Giovanelli & Haynes survey (Pisces-Perseus super cluster region)



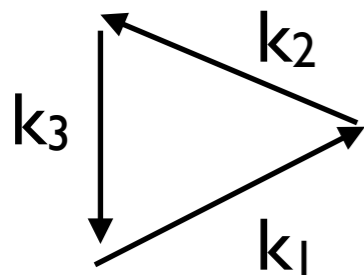
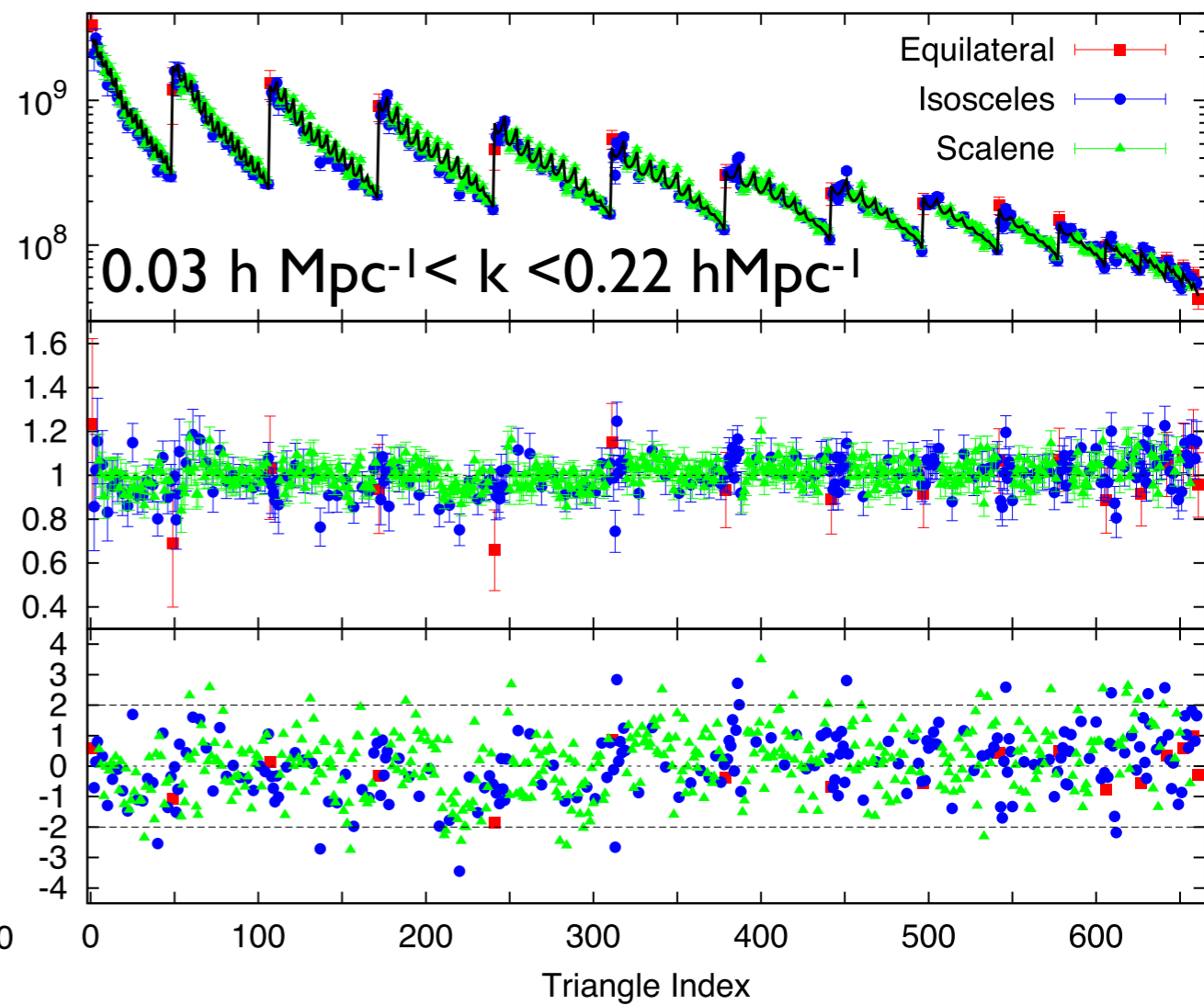
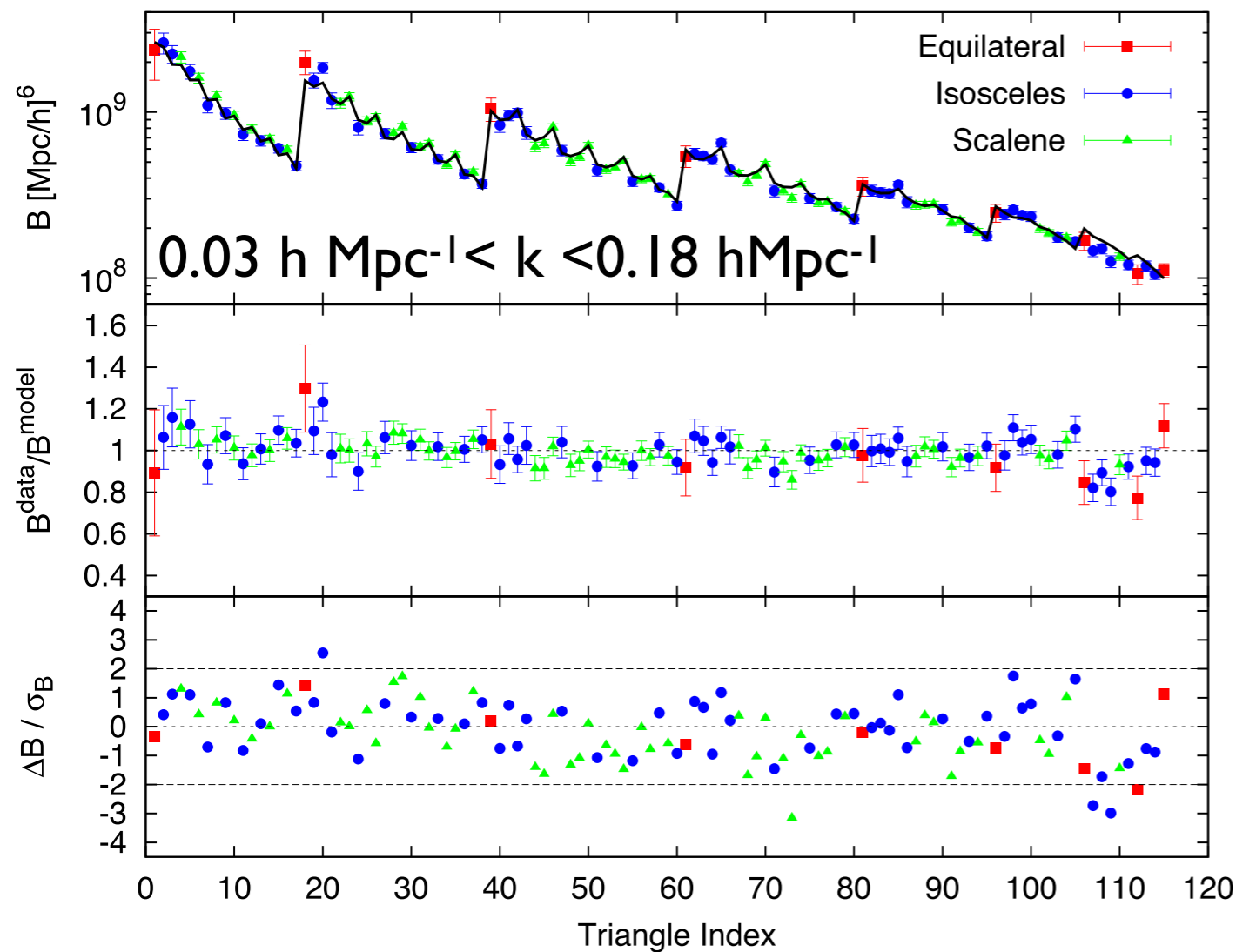
in physical units of
 $L=64 h^{-1}$ Mpc box

最近の観測

Gil-Marin et al. ('17)

LOWZ sample ($z_{\text{eff}}=0.32$)

CMASS sample ($z_{\text{eff}}=0.57$)



We then plot the bispectrum for triangular bins where we sequentially loop through all possible sets of values of k_1 , k_2 and k_3 , with k_3 in the inner most loop, and k_1 in the outer most increasing loop, where the loops go from $N_0 \Delta k$ to the maximum value considered, either $k_{\text{Ny}}/2$, a truncation scale set by our constraints $k_1 \leq k_2 \leq$

k_3 and $k_i < k_1 + k_2$, or the maximum k -value considered. For the bispectrum displayed in Fig. 2, the data points have been coloured according to the type of triangular shape they represent. Equilateral triangles are displayed by red squares, isosceles by blue circles and scalene by green triangles.

$N_0=2$ (LOWZ), 3 (CMASS)

$\Delta k=6k_f$

統計精度が上がっている → 精密宇宙論へ応用

バイスペクトルの理論：初歩

摂動論的理解

$$\delta = \delta_1 + \delta_2 + \delta_3 + \delta_4 + \dots \quad ; \quad \delta_n \sim \mathcal{O}(\delta_1^n)$$

ガウスの初期条件の場合 (δ_1 : ガウス場)

$$\begin{aligned} \langle \delta(\mathbf{k}_1)\delta(\mathbf{k}_2)\delta(\mathbf{k}_3) \rangle &\simeq \langle \delta_1(\mathbf{k}_1)\delta_1(\mathbf{k}_2)\delta_2(\mathbf{k}_3) \rangle + \langle \delta_2(\mathbf{k}_1)\delta_1(\mathbf{k}_2)\delta_1(\mathbf{k}_3) \rangle \\ &+ \langle \delta_1(\mathbf{k}_1)\delta_2(\mathbf{k}_2)\delta_1(\mathbf{k}_3) \rangle + \dots \end{aligned}$$

ツリー近似の表式

$$B(\mathbf{k}_1, \mathbf{k}_2, \mathbf{k}_3) \simeq \left\{ 2F_2(\mathbf{k}_1, \mathbf{k}_2)P_{\text{lin}}(k_1)P_{\text{lin}}(k_2) + (\text{cyclic perm.}) \right\}$$

2次の摂動
カーネル

$$F_2(\mathbf{k}_1, \mathbf{k}_2) = \frac{5}{7} + \frac{1}{2} \frac{\mathbf{k}_1 \cdot \mathbf{k}_2}{k_1 k_2} \left(\frac{k_1}{k_2} + \frac{k_2}{k_1} \right) + \frac{2}{7} \frac{(\mathbf{k}_1 \cdot \mathbf{k}_2)^2}{k_1^2 k_2^2}$$

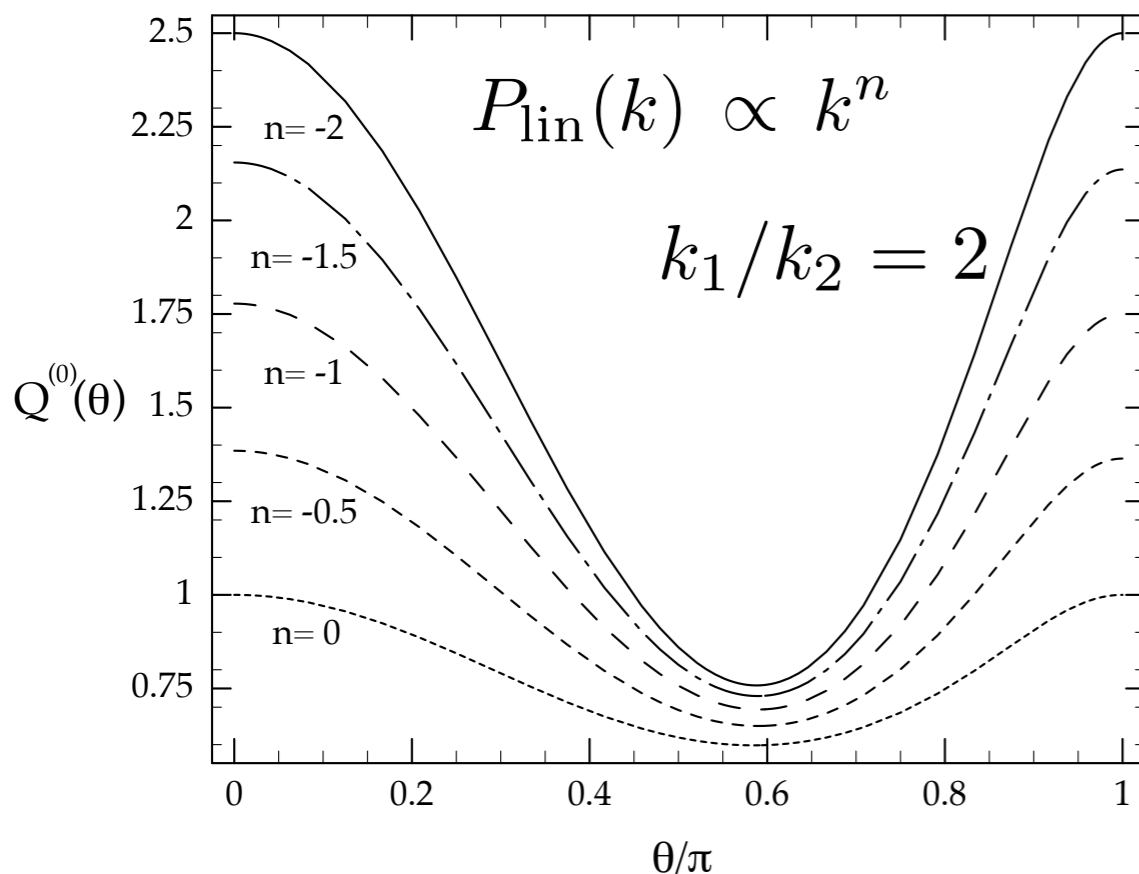
バイスペクトルの理論：初歩

実空間では（赤方偏移空間歪みなし）3変数の関数：

$$|k_1|, |k_2|, |k_3| \quad \text{or} \quad |k_1|, |k_2|, \theta_{12}$$

Reduced
bispectrum

$$Q(\mathbf{k}_1, \mathbf{k}_2, \mathbf{k}_3) \equiv \frac{B(\mathbf{k}_1, \mathbf{k}_2, \mathbf{k}_3)}{P(k_1)P(k_2) + P(k_2)P(k_3) + P(k_1)P(k_3)}$$



→ ツリー近似ではゆらぎの振幅
(規格化) に依らなくなる

($P(k)$ のシェイプにのみ依存)

正三角形 ($|k_1|=|k_2|=|k_3|$) では $Q = \frac{4}{7}$

Scoccimarro ('97)

バイスペクトルの理論：初歩

銀河バイアス
(ローカルバイアス)

$$\delta_{\text{gal}} = b_1 \delta_m + \frac{b_2}{2} (\delta_m^2 - \langle \delta_m^2 \rangle) + \dots$$

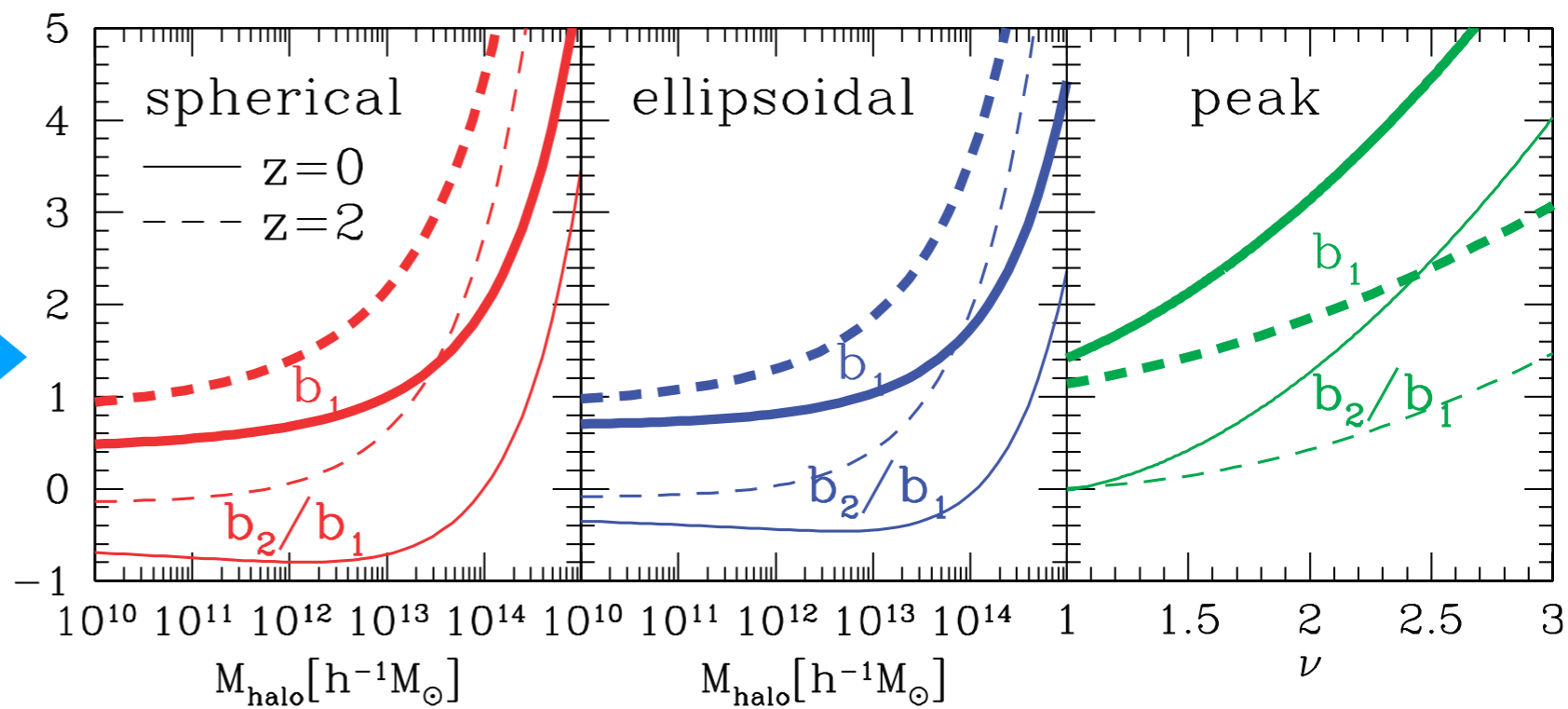
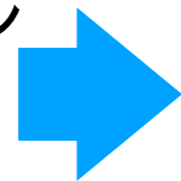
物質密度場

ツリー
近似

$$B_{\text{gal}}(\mathbf{k}_1, \mathbf{k}_2, \mathbf{k}_3) = b_1^3 B_m(\mathbf{k}_1, \mathbf{k}_2, \mathbf{k}_3) + b_2 b_1^2 \{ P_{\text{lin}}(k_1) P_{\text{lin}}(k_2) + (\text{cyclic perm.}) \}$$

$$Q_{\text{gal}}(\mathbf{k}_1, \mathbf{k}_2, \mathbf{k}_3) = \frac{1}{b_1} \left[Q_m(\mathbf{k}_1, \mathbf{k}_2, \mathbf{k}_3) + \frac{b_2}{b_1} \right]$$

ハロー・ピークモデル
にもとづく予言



Nishimichi et al. ('07)

バイスペクトルの理論：初歩

赤方偏移空間ゆがみ：銀河の特異速度場の影響

$$\mathbf{s} = \mathbf{x} + \frac{1+z}{H(z)} (\mathbf{v} \cdot \hat{\mathbf{z}}) \hat{\mathbf{z}} \quad \begin{array}{l} \mathbf{s} : \text{赤方偏移空間} \\ \mathbf{x} : \text{実空間} \end{array}$$

赤方偏移空間の密度場

$$\begin{aligned} \{1 + \delta^{(S)}(\mathbf{s})\} d^3 \mathbf{s} &= \{1 + \delta_g(\mathbf{x})\} d^3 \mathbf{x} \quad \longrightarrow \quad \delta^{(S)}(\mathbf{s}) = \{1 + \delta_g(\mathbf{x})\} \left| \frac{\partial \mathbf{s}}{\partial \mathbf{x}} \right|^{-1} - 1. \\ \delta^{(S)}(\mathbf{k}) &= \int d^3 \mathbf{s} \delta^{(S)}(\mathbf{s}) e^{-i\mathbf{k} \cdot \mathbf{s}} \\ &= \delta(\mathbf{k}) + f \mu^2 \theta(\mathbf{k}) \end{aligned} \quad \begin{array}{l} \mu_i \equiv \frac{\mathbf{q}_i \cdot \hat{\mathbf{z}}}{|\mathbf{q}|} \quad \theta \equiv -\frac{\nabla \cdot \mathbf{v}}{f a H} \end{array}$$
$$\begin{aligned} &+ \sum_{n=2} \int \frac{d^3 \mathbf{q}_1}{(2\pi)^3} \cdots \int \frac{d^3 \mathbf{q}_n}{(2\pi)^3} \delta_D(\mathbf{k} - \mathbf{q}_{1\dots n}) \{\delta(\mathbf{k}) + f \mu^2 \theta(\mathbf{k})\} \frac{(f \mu k)^{n-1}}{(n-1)!} \frac{\mu_2}{q_2} \theta(\mathbf{q}_2) \cdots \frac{\mu_n}{q_n} \theta(\mathbf{q}_n) \\ &= \sum_{n=1} \int \frac{d^3 \mathbf{q}_1}{(2\pi)^3} \cdots \int \frac{d^3 \mathbf{q}_n}{(2\pi)^3} \delta_D(\mathbf{k} - \mathbf{q}_{1\dots n}) \mathbf{Z}_n(\mathbf{q}_1, \cdots, \mathbf{q}_n) \delta_L(\mathbf{q}_1) \cdots \delta_L(\mathbf{q}_n) \end{aligned}$$

赤方偏移空間の摂動論カーネル

バイスペクトルの理論：初歩

赤方偏移空間のバイスペクトル

実空間の摂動論カーネル F_n を Z_n におきかえる：

ツリー近似の公式

Scoccimarro et al. ('99)

$$B^{\text{tree}}(\mathbf{k}_1, \mathbf{k}_2, \mathbf{k}_3) = 2Z_2(\mathbf{k}_1, \mathbf{k}_2)Z_1(\mathbf{k}_1)Z_1(\mathbf{k}_2)P_{\text{lin}}(k_1)P_{\text{lin}}(k_2) + 2 \text{ perms } (\mathbf{k}_1 \leftrightarrow \mathbf{k}_2 \leftrightarrow \mathbf{k}_3)$$

$$Z_1(\mathbf{k}) = (b + f\mu^2)$$

$$Z_2(\mathbf{k}_1, \mathbf{k}_2) = bF_2(\mathbf{k}_1, \mathbf{k}_2) + f\mu^2 G_2(\mathbf{k}_1, \mathbf{k}_2) + \frac{f\mu k}{2} \left[\frac{\mu_1}{k_1} (b + f\mu_2^2) + \frac{\mu_2}{k_2} (b + f\mu_1^2) \right] + \frac{b_2}{2}$$

統計的な等方性が破れる

→ 三角形 $(\mathbf{k}_1, \mathbf{k}_2, \mathbf{k}_3)$ の形以外に視線方向に対する方位にも依る

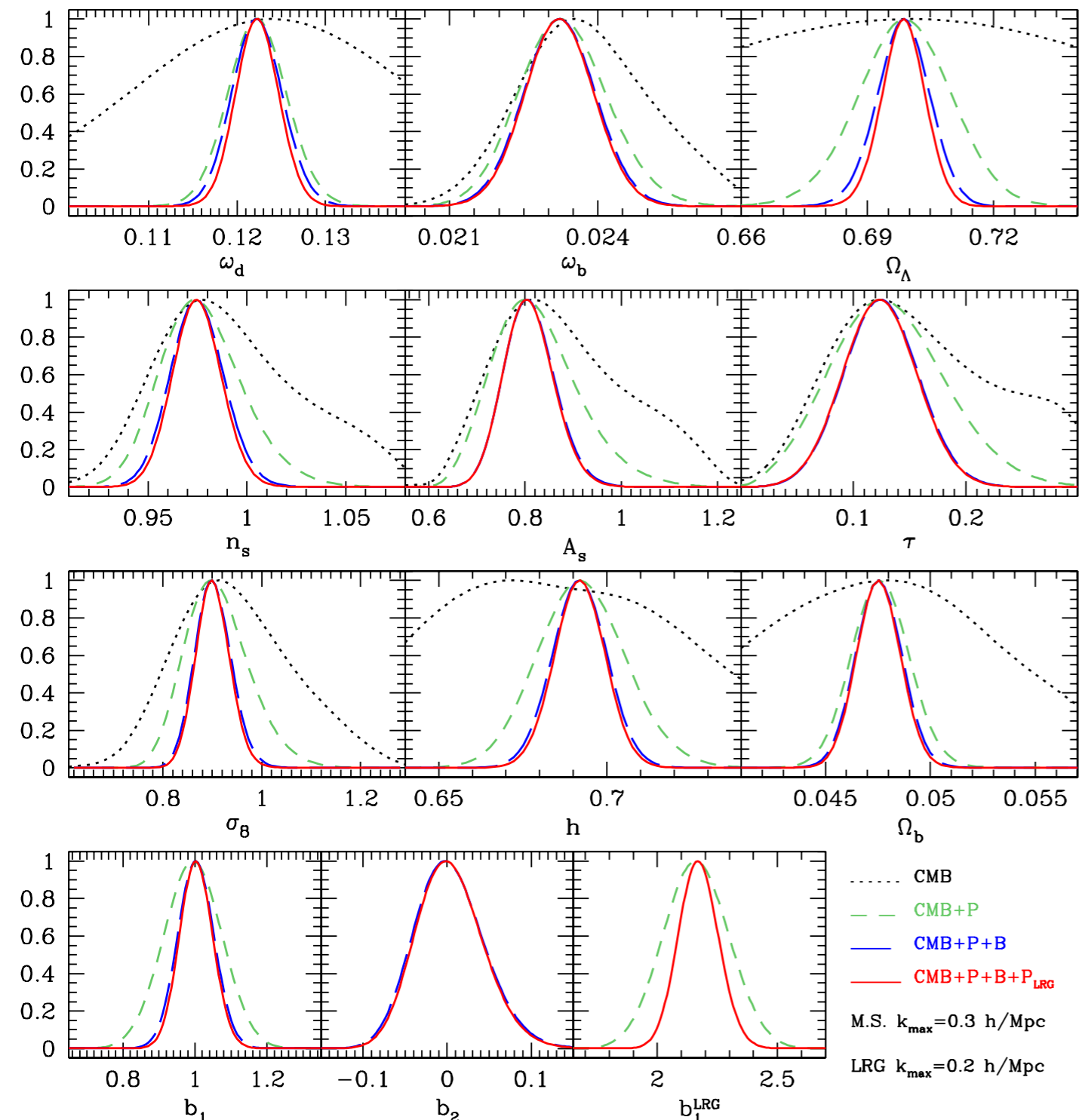
(5変数)

どう特徴づけるか？

バイスペクトルの宇宙論情報

バイスペクトル（モノポール成分）のシェイプを使った
宇宙論パラメータの制限

フィッシャー解析



- CMB (WMAP)
- CMB+P
- CMB+P+B
- CMB+P+B+P_{LRG}

M.S. $k_{\max} = 0.3 \text{ h/Mpc}$

LRG $k_{\max} = 0.2 \text{ h/Mpc}$

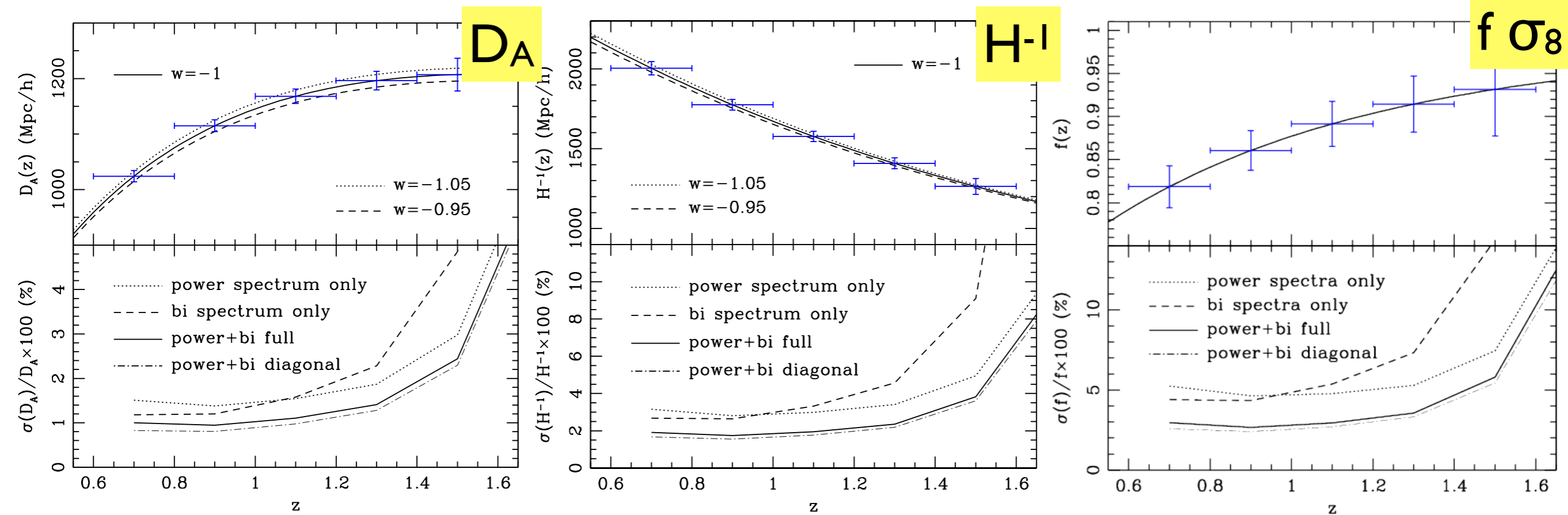
- CMB
- CMB+P
- CMB+P+B
- CMB+P+B+P_{LRG}
- M.S. $k_{\max} = 0.3 \text{ h/Mpc}$
- LRG $k_{\max} = 0.2 \text{ h/Mpc}$

Sefusatti et al. ('06)

バイスペクトルの宇宙論情報

赤方偏移空間歪みとAlcock-Paczynski 効果を利用した制限
(フルシェイプを使って) $k_{\max}=0.1 \text{ h}^{-1}\text{Mpc}$

DESIを想定したフィッシャー解析

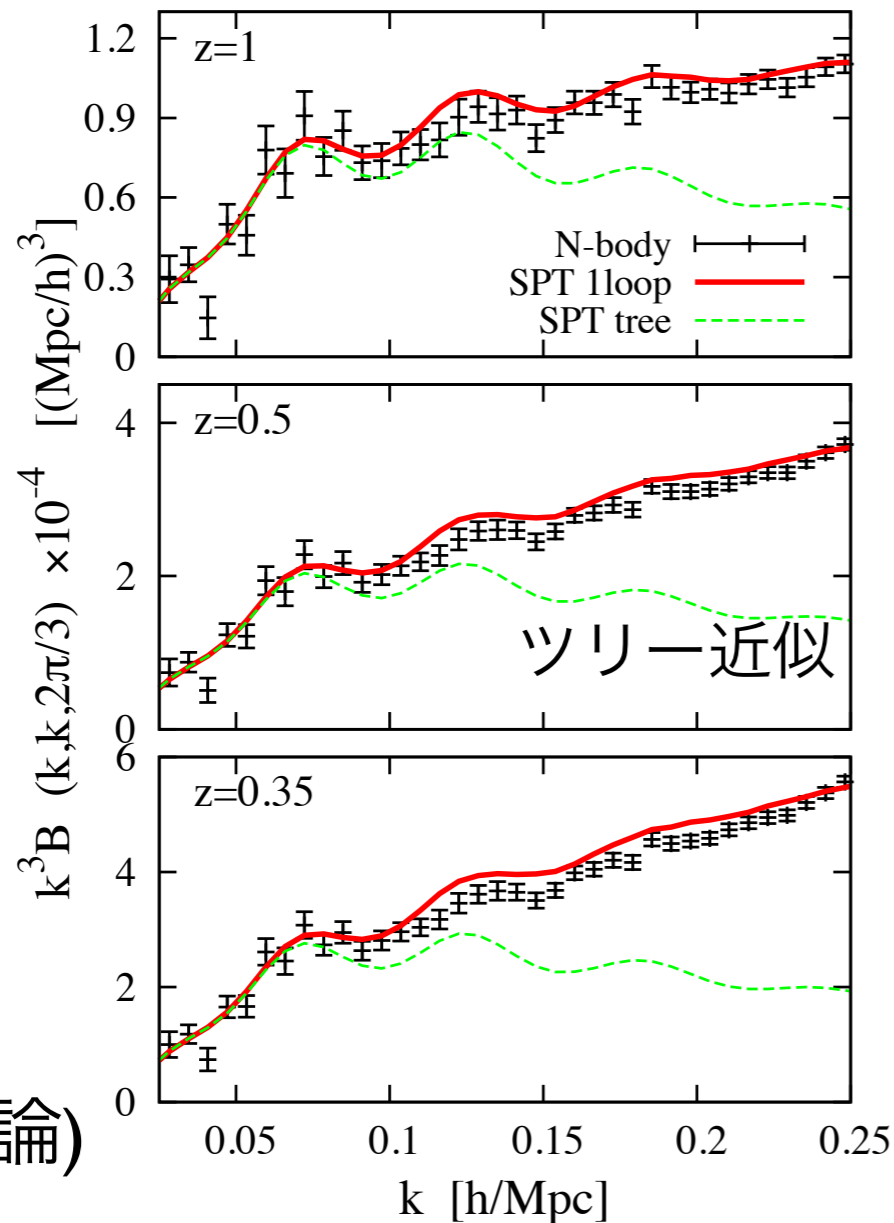


ダークエネルギー状態方程式
宇宙論的スケールでの重力テスト

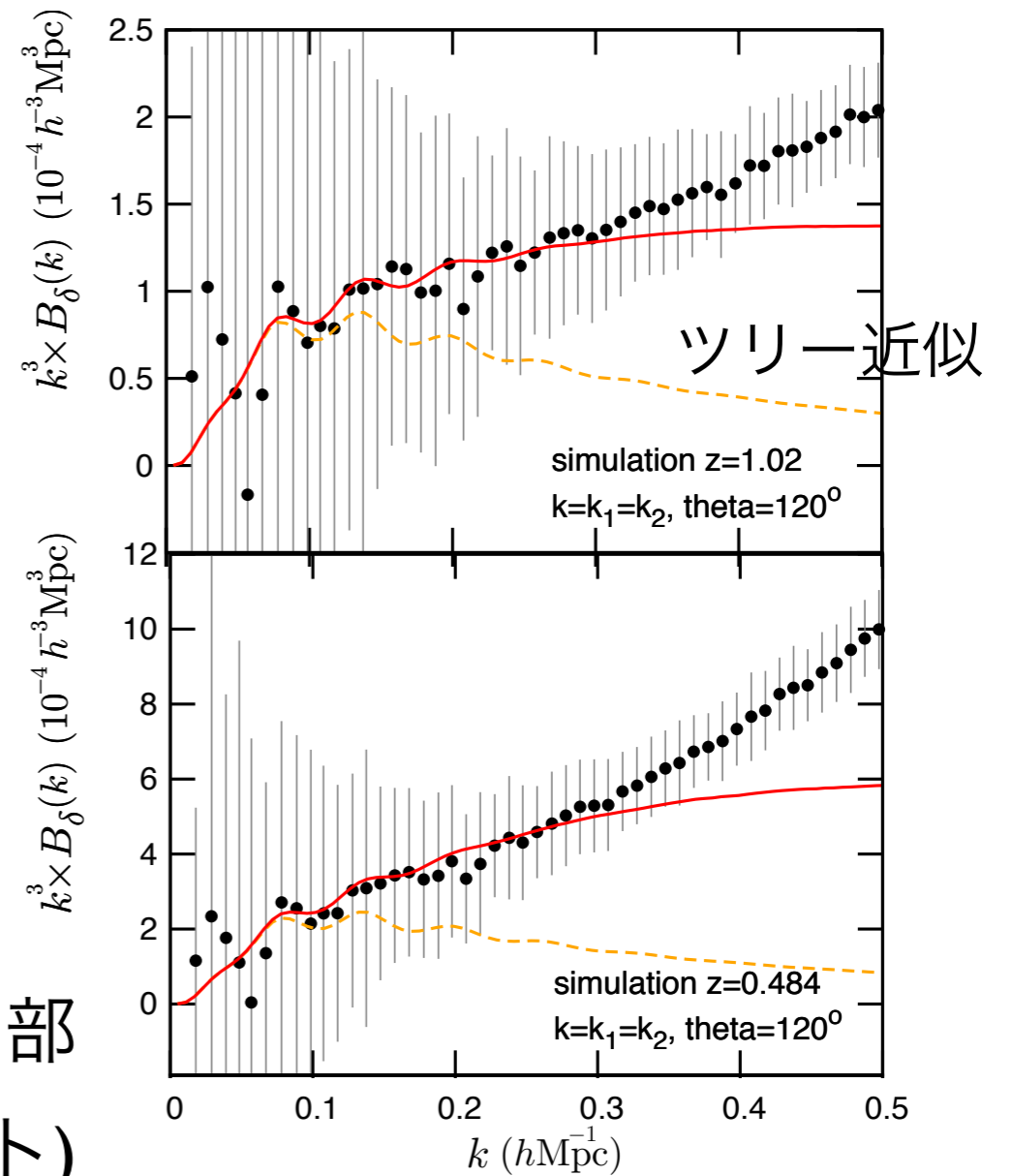
Song, AT & Oka ('15)

課題：非線形性

ツリー近似の適用範囲は広くない



高橋(内部
レポート)



フィッティング公式の精度も 5% (以上?) (e.g., Gil-Marín et al.'14)

非等方性には応用できない

課題：バイスペクトルの定量化

赤方偏移空間におけるバイスペクトルの非等方性

(5変数)

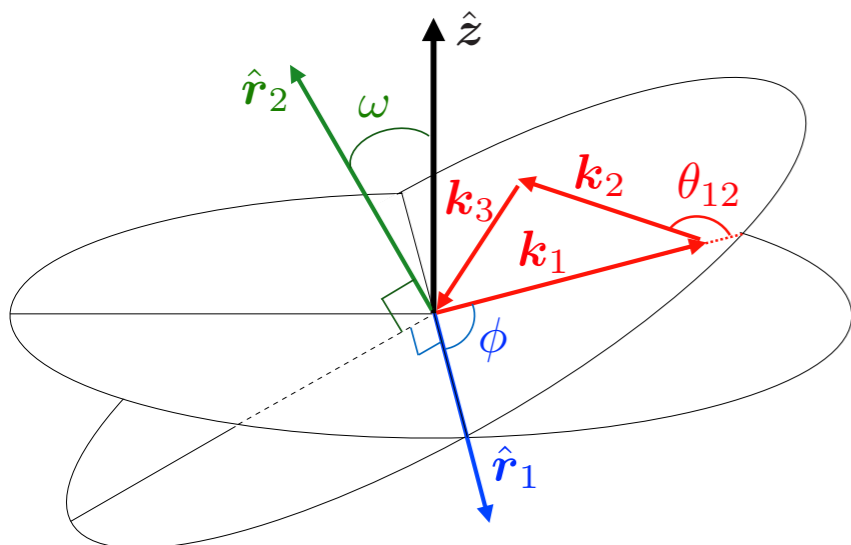
- ゆらぎの成長率 (f)

- 幾何学的距離 (D_A, H^{-1})

サーベイ形状・マスクの影響を考慮して

どうやって効率よく特徴づけするか？

TripoSH



$$B(\mathbf{k}_1, \mathbf{k}_2, \hat{n}) = \sum_{JM_J} \sum_{\ell_1 \ell_2 L \ell_{12}} B_{\ell_1 \ell_2 \ell_{12} L}^{JM_J}(\mathbf{k}_1, \mathbf{k}_2) S_{\ell_1 \ell_2 \ell_{12} L}^{JM_J}(\hat{k}_1, \hat{k}_2, \hat{n}),$$

$$S_{\ell_1 \ell_2 \ell_{12} L}^{JM_J}(\hat{k}_1, \hat{k}_2, \hat{n}) = \sum_{m_1 m_2 m_{12} M} C_{\ell_1 m_1; \ell_2 m_2}^{\ell_{12} m_{12}} C_{\ell_{12} m_{12}; LM}^{JM_J} y_{\ell_1}^{m_1}(\hat{k}_1) y_{\ell_2}^{m_2}(\hat{k}_2) y_L^M(\hat{n}),$$

$$C_{\ell_1 m_1; \ell_2 m_2}^{\ell_3 m_3} = (-1)^{\ell_1 - \ell_2 + m_3} \sqrt{2\ell_3 + 1} \begin{pmatrix} \ell_1 & \ell_2 & \ell_3 \\ m_1 & m_2 & -m_3 \end{pmatrix}$$

Sugiyama et al. ('18)

課題：エラー共分散

宇宙論データ解析

$$\mathcal{L}_B \propto \exp \left\{ -\frac{1}{2} \chi_B^2 \right\}; \quad \chi_B^2 \equiv \sum_{\ell, \ell'=1,2} \sum_{ij} \left(B_{i,\ell,\text{model}}^{(s)} - B_{i,\ell,\text{sim}}^{(s)} \right) \left(C_{\ell\ell'}^B \right)^{-1}_{ij} \left(B_{j,\ell,\text{model}}^{(s)} - B_{j,\ell,\text{sim}}^{(s)} \right)$$

エラー共分散

i, j : バイスpekトルの形状を表すラベル

ℓ, ℓ' : バイスpekトルの非等方性を特徴づけるラベル

ガウス統計なら $C_{\ell\ell',ij}^B \equiv \delta_{\ell\ell'} \delta_{ij} (\sigma_i^B)^2$

- サーベイ形状・非ガウス性の影響（非対角成分）
- パワースpekトルと組み合わせた解析ではクロス共分散

どこまで正しく定量的にエラー推定できるか？

小まとめ

バイスペクトルを使った宇宙論的応用が進みつつある

今後の精密宇宙論観測においてどこまで正しい解析ができるか？

- 高精度な理論モデル構築
- 実用的なバイスペクトル測定方法の開発
(バイスペクトルの特徴づけ・分解法)
- バイスペクトルを取り入れたデータ解析手法の構築
(バイスペクトルのエラー共分散)
- 新たな宇宙論プローブとしての可能性

Simultaneous constraints on the growth of structure and cosmic expansion from the multipole power spectra of the SDSS DR7 LRG sample

Akira Oka,^{1★} Shun Saito,² Takahiro Nishimichi,³ Atsushi Taruya^{2,4,5}
and Kazuhiro Yamamoto⁶

¹Department of Physics, University of Tokyo, Tokyo 113-0033, Japan

²Kavli Institute for the Physics and Mathematics of the Universe (WPI), University of Tokyo, Chiba 277-8583, Japan

³Institute d'Astrophysique de Paris, CNRS, 98 bis Boulevard Arago, F-75014 Paris, France

⁴Research Center for the Early Universe, School of Science, University of Tokyo, Tokyo 113-0033, Japan

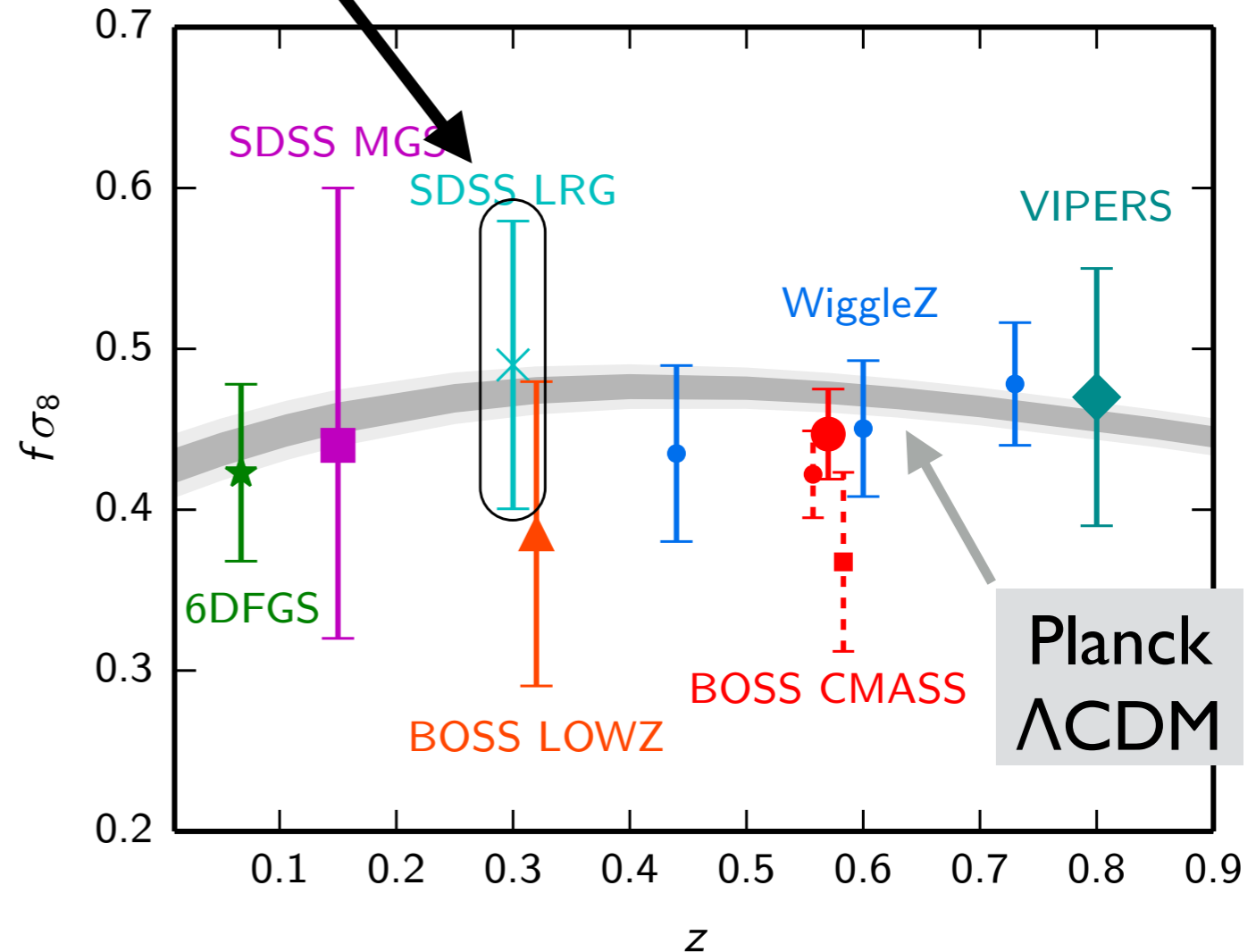
⁵Yukawa Institute for Theoretical Physics, Kyoto University, Kyoto 606-8502, Japan

⁶Department of Physical Science, Hiroshima University, Higashi-Hiroshima 739-8526, Japan

SDSSの論文を差し置いて、
我々の論文がPlanckの論文
で引用されている

こういう論文をバイスペク
トルで書きたい！

Planck 2015 XIII



博士論文

Toward a precision cosmological test of gravity from redshift-space bispectrum based on perturbation theory

基礎物理学研究所 宇宙グループ

橋本一彦



What has been done

I. Hashimoto (PhD thesis)

- Perturbation-theory (PT) based modeling of redshift-space bispectrum at one-loop order
- Constructing mock galaxy catalog (halos) based on 350 runs of N-body simulations ($L=1000 h^{-1}\text{Mpc}$ & $N=1024^3$)
- Parameter estimation study with PT template
(particularly focusing on the estimation of growth rate)
 - ✓ un-biased estimation of $f\sigma_8$ is possible within 3% accuracy
 - ✓ combination of bispectrum with power spectrum improves the constraint on $f\sigma_8$ by $\sim 20\%$

PT-based model of bispectrum

バイスペクトルの厳密な表式 (5変数)

$$B^{(s)}(\mathbf{k}_1, \mathbf{k}_2, \mathbf{k}_3) = \int d\mathbf{r}_{13} d\mathbf{r}_{23} e^{i(\mathbf{k}_1 \mathbf{r}_{13} + \mathbf{k}_2 \mathbf{r}_{23})} \langle A_1 A_2 A_3 e^{j_4 A_4 + j_5 A_5} \rangle \text{減衰の効果}$$

$$A_i = \delta(\mathbf{r}_i) + f \nabla_z u_z(\mathbf{r}_i) \quad (i = 1, 2, 3) \quad u_z = (\mathbf{v} \cdot \hat{\mathbf{z}}) / (aH)$$

$$A_4 = u_z(\mathbf{r}_1) - u_z(\mathbf{r}_3), \quad A_5 = u_z(\mathbf{r}_2) - u_z(\mathbf{r}_3), \quad j_4 = -ik_{1z} f, \quad j_5 = -ik_{2z} f$$

単純に展開 → 標準摂動論(SPT)

指数関数的な減衰の効果も単純に展開

$$\langle e^X \dots \rangle = \langle (1 + X + X^2/2 \dots) \dots \rangle$$

$$B_{\text{PT}} \simeq B_{\text{tree}} + B_{1\text{-loop}} + \dots$$

$O((\delta_1)^4)$ $O((\delta_1)^6)$

有限の項までの効果しか取り入れられずパワースペクトルでもシミュレーションとの一致が悪い Taruya et al. ('10)

PT-based model of bispectrum

バイスペクトルの厳密な表式 (5変数)

$$B^{(s)}(\mathbf{k}_1, \mathbf{k}_2, \mathbf{k}_3) = \int d\mathbf{r}_{13} d\mathbf{r}_{23} e^{i(\mathbf{k}_1 \mathbf{r}_{13} + \mathbf{k}_2 \mathbf{r}_{23})} \langle A_1 A_2 A_3 \underline{e^{j_4 A_4 + j_5 A_5}} \rangle \text{減衰の効果}$$

減衰を表す部分を展開しない

$$\langle \underline{e^X} \cdots \rangle = \underline{\exp\{\langle e^X \rangle_c\}} \{ \langle \cdots \rangle_c \cdots \}$$

我々のモデル

標準摂動論で
1-loopまで計算

$$B^{(s)}(\mathbf{k}_1, \mathbf{k}_2, \mathbf{k}_3) = \underline{D_{\text{FoG}}(\mathbf{k}_1, \mathbf{k}_2, \mathbf{k}_3)} \underline{B'_{\text{PT}}(\mathbf{k}_1, \mathbf{k}_2, \mathbf{k}_3)}$$

- ・ キュムラントで統計平均を書き直し、**減衰の効果**を分離する
- ・ パワースペクトルの場合では、系統誤差の少ないモデルとして広く実際の観測にも用いられている e.g. Oka et al. ('14)

TNSモデル: $P^{(s)}(k, \mu) = D_{\text{FoG}}(k, \mu) P'_{\text{PT}}(k, \mu)$ Taruya et al. ('10)

Explicit expressions

減衰のモデル：ガウス型、1変数の減衰関数を使用

$$\exp \left\{ \langle e^{j_4 A_4 + j_5 A_5} \rangle_c \right\} \rightarrow D_{\text{FoG}}(q) = \exp(-\sigma_v^2 q^2 / 2)$$

$$q^2 = k_{1z}^2 + k_{2z}^2 + k_{3z}^2 \quad \sigma_v: \text{フリーパラメータ}$$

摂動計算の部分：1-loopの標準摂動論 — 補正項(D_1, D_2)を計算

$$B'_{\text{PT}}(\mathbf{k}_1, \mathbf{k}_2, \mathbf{k}_3) = B^{\text{tree}} + B_{222}^{1\text{-loop}} + B_{321\text{-I}}^{1\text{-loop}} + B_{321\text{-II}}^{1\text{-loop}} + B_{411}^{1\text{-loop}} - D_1 - D_2$$

$$B^{\text{tree}}(\mathbf{k}_1, \mathbf{k}_2, \mathbf{k}_3) = 2Z_2(\mathbf{k}_1, \mathbf{k}_2)Z_1(\mathbf{k}_1)Z_1(\mathbf{k}_2)P_L(k_1)P_L(k_2)$$

$$B_{222}^{1\text{-loop}}(\mathbf{k}_1, \mathbf{k}_2, \mathbf{k}_3) = \int \frac{d^3 p}{(2\pi)^3} Z_2(p, \mathbf{k}_1 - p) Z_2(-p, \mathbf{k}_2 + p) Z_2(-\mathbf{k}_1 + p, -\mathbf{k}_2 - p) P_L(p) P_L(|\mathbf{k}_1 - p|) P_L(|\mathbf{k}_2 + p|)$$

$$B_{321\text{-I}}^{1\text{-loop}}(\mathbf{k}_1, \mathbf{k}_2, \mathbf{k}_3) = Z_1(\mathbf{k}_1) P_L(k_1) \int \frac{d^3 p}{(2\pi)^3} Z_2(p, \mathbf{k}_2 - p) Z_3(-\mathbf{k}_1, -p, -\mathbf{k}_2 + p) P_L(p) P_L(|\mathbf{k}_2 - p|)$$

$$B_{321\text{-II}}^{1\text{-loop}}(\mathbf{k}_1, \mathbf{k}_2, \mathbf{k}_3) = Z_1(\mathbf{k}_1) Z_2(\mathbf{k}_1, \mathbf{k}_2) P_L(k_1) P_L(k_2) \int \frac{d^3 p}{(2\pi)^3} Z_3(\mathbf{k}_2, p, -p) P_L(p)$$

$$B_{411}^{1\text{-loop}}(\mathbf{k}_1, \mathbf{k}_2, \mathbf{k}_3) = Z_1(\mathbf{k}_1) Z_1(\mathbf{k}_2) P_L(k_1) P_L(k_2) \int \frac{d^3 p}{(2\pi)^3} Z_4(-\mathbf{k}_1, -\mathbf{k}_2, p, -p) P_L(p)$$

$$D_1(\mathbf{k}_1, \mathbf{k}_2, \mathbf{k}_3) = -\frac{q^2 \sigma_{v,\text{lin}}^2}{2} C_1(\mathbf{k}_1, \mathbf{k}_2, \mathbf{k}_3) - f^2 \int \frac{d^3 p}{(2\pi)^3} \frac{\mu_p^2}{p^2} P_{22}(p) \left\{ (k_1 k_2 \mu_1 \mu_2) C_1(\mathbf{k}_1 + p, \mathbf{k}_2 - p, \mathbf{k}_3) \right. \\ \left. + (k_1 k_3 \mu_1 \mu_3) C_1(\mathbf{k}_1 + p, \mathbf{k}_2, \mathbf{k}_3 - p) + (k_2 k_3 \mu_2 \mu_3) C_1(\mathbf{k}_1, \mathbf{k}_2 + p, \mathbf{k}_3 - p) \right\}$$

$$D_2(\mathbf{k}_1, \mathbf{k}_2, \mathbf{k}_3) = -\frac{q^2 \sigma_{v,\text{lin}}^2}{2} C_2(\mathbf{k}_1, \mathbf{k}_2, \mathbf{k}_3) + f^3 (k_1 \mu_1)(k_2 \mu_2)(k_3 \mu_3) J_2(\mathbf{k}_1, \mathbf{k}_2, \mathbf{k}_3) + f^3 K_2(\mathbf{k}_1, \mathbf{k}_2, \mathbf{k}_3)$$

Multipole expansion

赤方偏移空間でバイスペクトルは5変数を持つ

以下では、バイスペクトルの非等方性を次のように特徴付ける

3変数

$$\hat{B}_\ell^{(s)}(k_1, k_2, \theta_{12}) = \int_{-1}^1 d\mu \int_0^{2\pi} \frac{d\phi}{2\pi} B^{(s)}(k_1, k_2, \theta_{12}, \mu, \phi) \underline{P_\ell(\mu)} \quad \mu \equiv \cos \omega$$

5変数

ルジャンドル多項式

$\ell = 0$: 単極成分

$\ell = 2$: 四重極成分

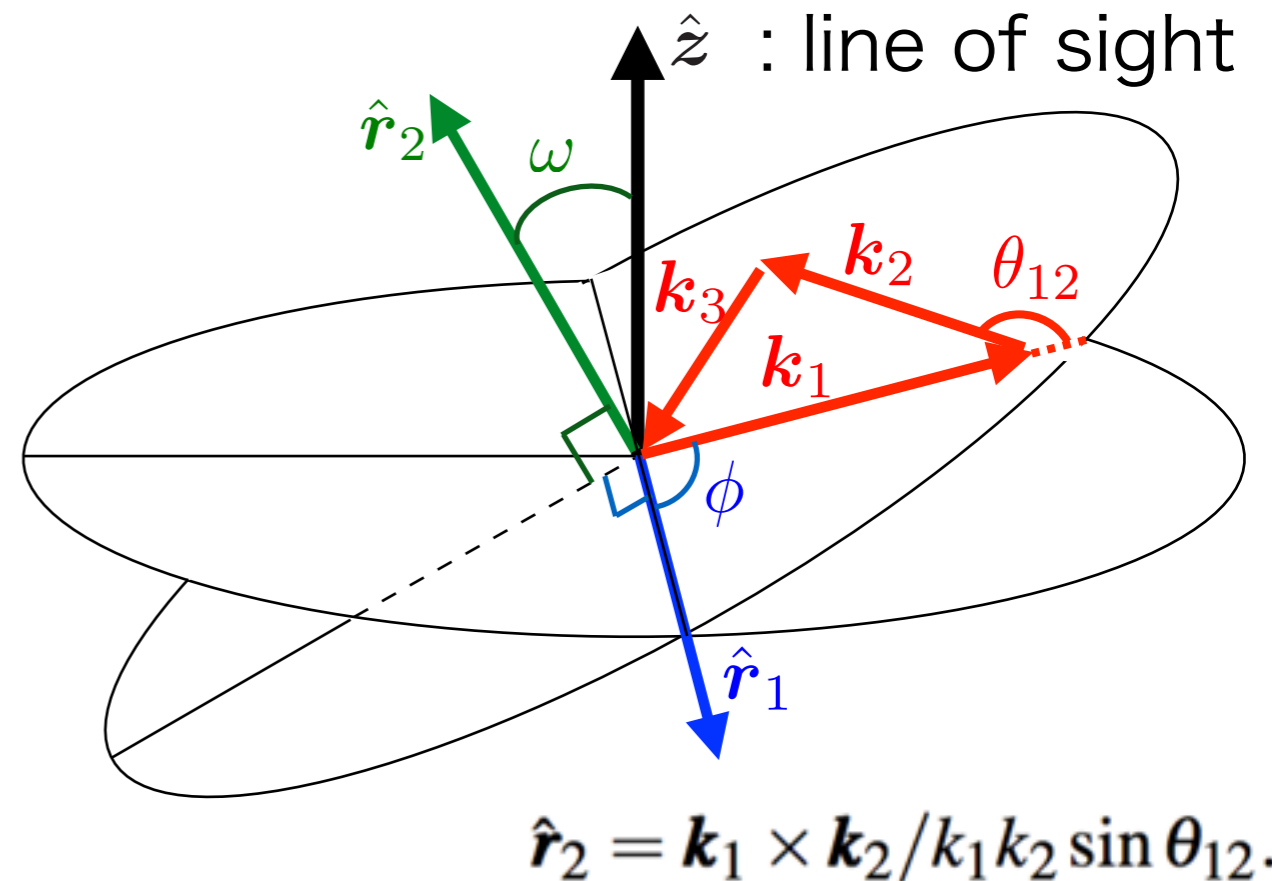
例. 赤方偏移空間のパワースペクトル

1変数

$$P_\ell^{(s)}(k) = \int_0^{2\pi} \frac{d\phi}{2\pi} \int_0^1 d\mu P^{(s)}(k, \mu) \mathcal{P}_\ell(\mu).$$

2変数

$$\mu \equiv \hat{k} \cdot \hat{z}$$

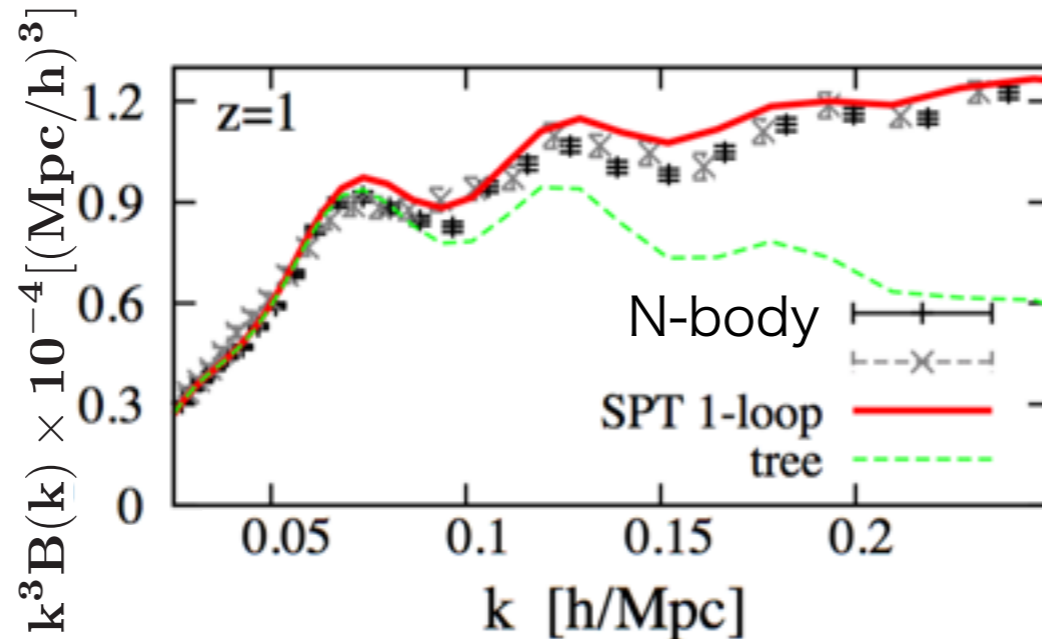


Standard PT results

実空間

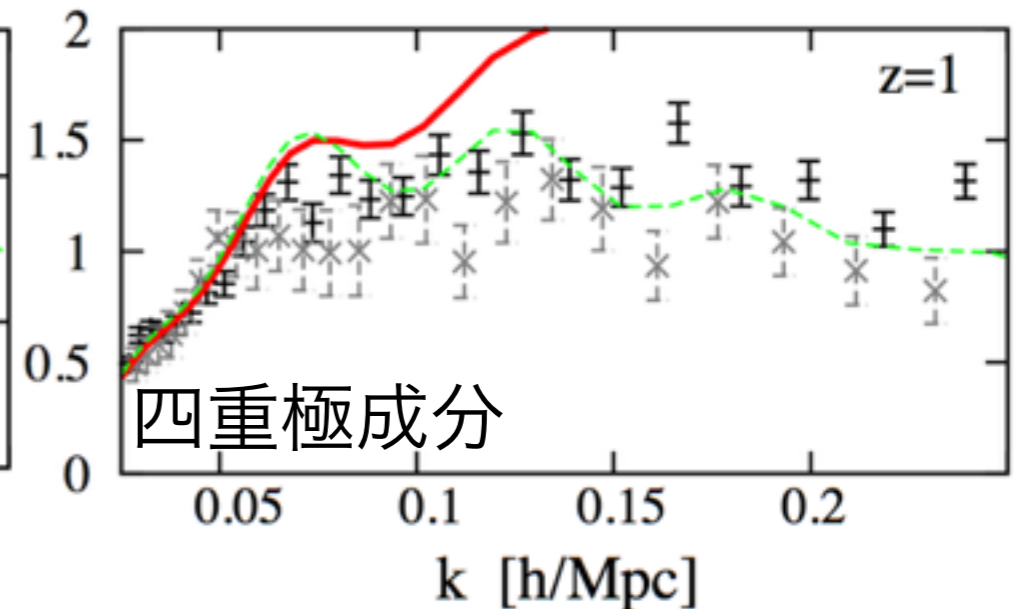
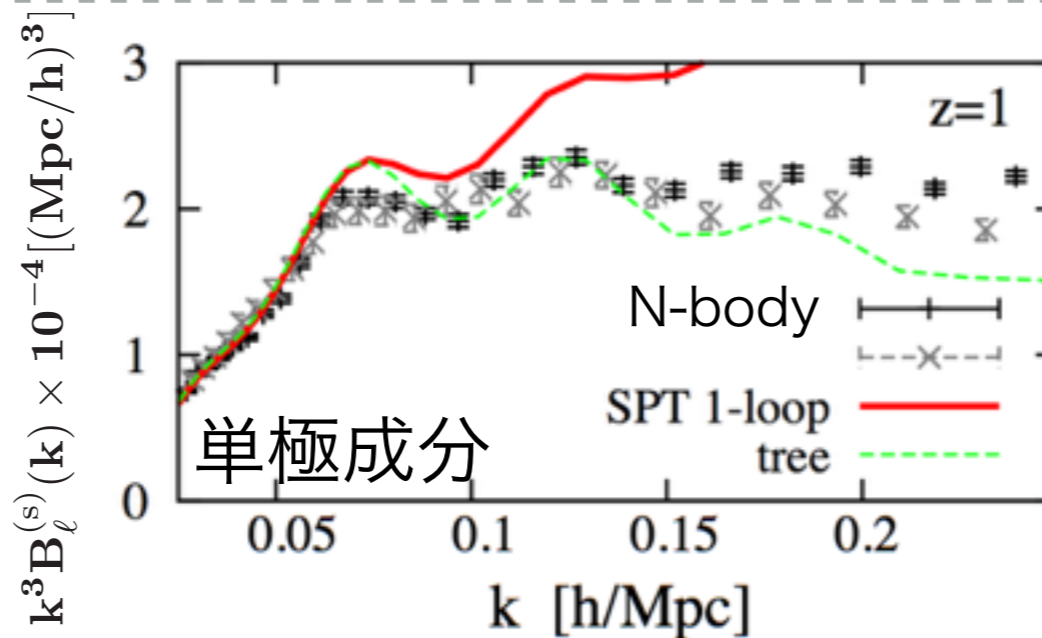
: 正三角形

$$k = k_1 = k_2 = k_3$$



赤方偏移空間

: 正三角形

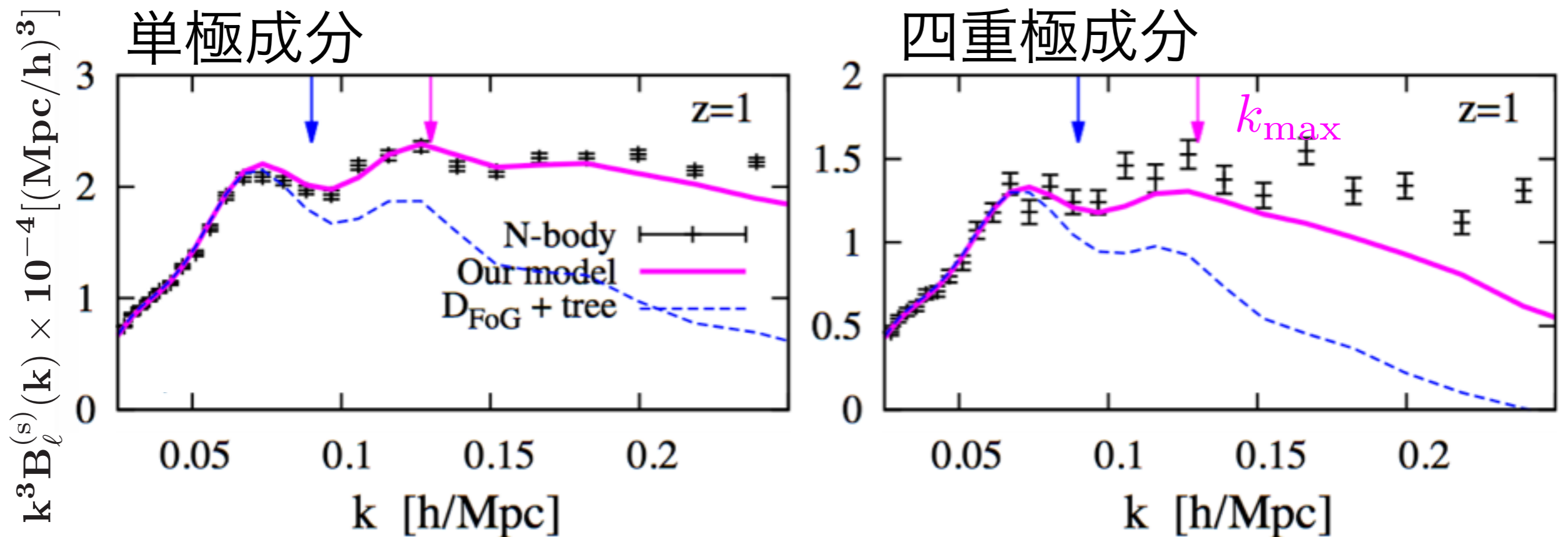


単純な摂動論は実空間で有効だが、赤方偏移空間ではすぐにシミュレーションと一致しなくなる

An improved PT model

DEUS ($L=1325h^{-1}\text{Mpc}$, $N=512^3$, 512 runs)

赤方偏移空間のバイスペクトル：正三角形

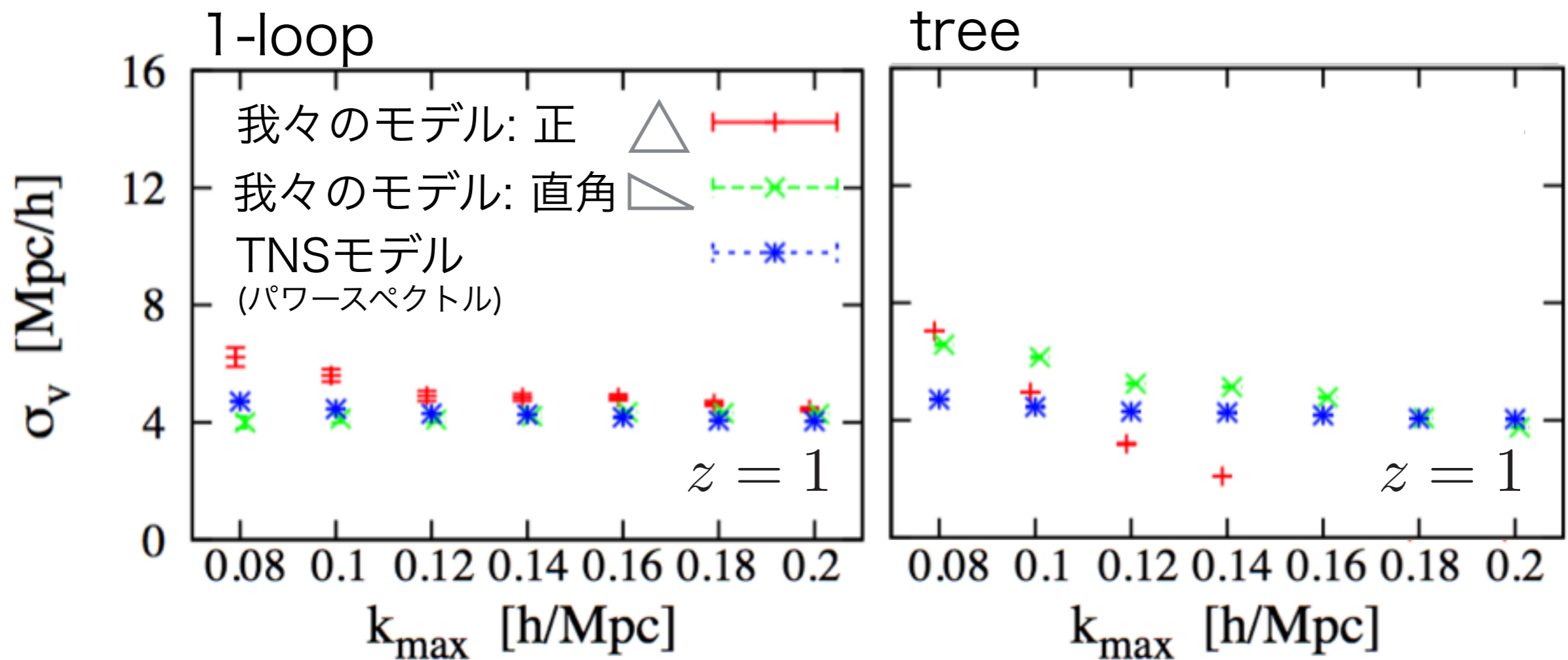


- $k_{\text{max}} = 0.13 h\text{Mpc}^{-1}$ までのデータで σ_v をフィット
- 準非線形領域では物質場のシミュレーションとよく一致

An improved PT model

σ_v の k_{\max} 依存性

単極・四重極成分を用いて k_{\max} までフィット



我々のモデルでは、 σ_v はパワースペクトルのものとはほぼ一致する

Mock catalog

物質場の生成 : Gadget-2 code Springel('05)

1 [Gpc³], 1024³ 粒子, 350 回, $z=1$

e.g. Subaru PFS: $1.0 < z < 1.2$, $V_{\text{surv}} = 0.96h^{-3}\text{Gpc}$

ハローの同定 : Friends-of-friends + Rockstar code

Davis et al.('85), Springel et al.('01)

N体粒子の分布の中からハローを同定するアルゴリズム

20個以上の粒子が束縛されている天体をハローと定義する

ハロー質量 $> 5 \times 10^{12} M_{\text{solar}}$

バイスペクトル測定の高速度化 Baldauf et al.('76), Scoccimarro.('15)

FFTを用いたバイスペクトルの高速測定方法を我々の

四重極成分の定義に基づいて実装

Statistical analysis

最尤推定法 & Markov-chain Monte Carlo 法

理論モデルをパラメータ空間内で繰り返し計算し、尤度関数が最大となるパラメータの組みと信頼区間を求める

尤度関数

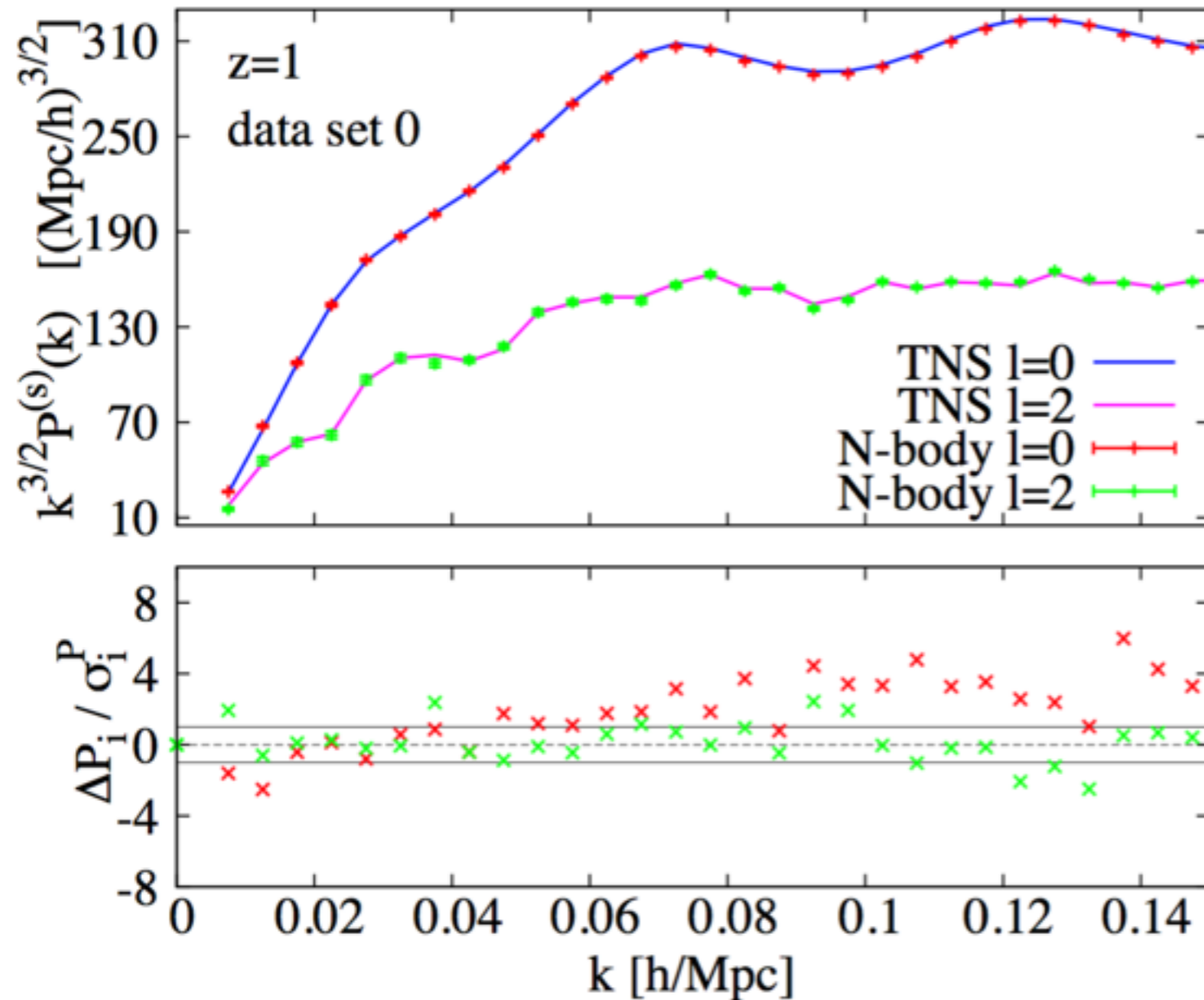
$$\mathcal{L}_P \propto \exp \left\{ -\frac{1}{2} \chi_P^2 \right\}; \quad \chi_P^2 \equiv \sum_{\ell, \ell'=1,2} \sum_{ij} \left(P_{i,\ell,\text{model}}^{(s)} - P_{i,\ell,\text{sim}}^{(s)} \right) \left(C_{\ell\ell'}^P \right)_{ij}^{-1} \left(P_{j,\ell,\text{model}}^{(s)} - P_{j,\ell,\text{sim}}^{(s)} \right)$$

$$\mathcal{L}_B \propto \exp \left\{ -\frac{1}{2} \chi_B^2 \right\}; \quad \chi_B^2 \equiv \sum_{\ell, \ell'=1,2} \sum_{ij} \left(B_{i,\ell,\text{model}}^{(s)} - B_{i,\ell,\text{sim}}^{(s)} \right) \left(C_{\ell\ell'}^B \right)_{ij}^{-1} \left(B_{j,\ell,\text{model}}^{(s)} - B_{j,\ell,\text{sim}}^{(s)} \right)$$

$$C_{\ell\ell',ij}^P \equiv \delta_{\ell\ell'} \delta_{ij} \left(\sigma_i^P \right)^2, \quad C_{\ell\ell',ij}^B \equiv \delta_{\ell\ell'} \delta_{ij} \left(\sigma_i^B \right)^2 : \text{共分散行列} \quad i, j : \text{binの番号}$$

$$\sigma_i^P, \sigma_i^B : \text{N体の標準誤差}$$

Halo power spectrum



フリーパラメータ:

$$f, \sigma_v, b_0, Q, A$$

P+B をフィットに用いた

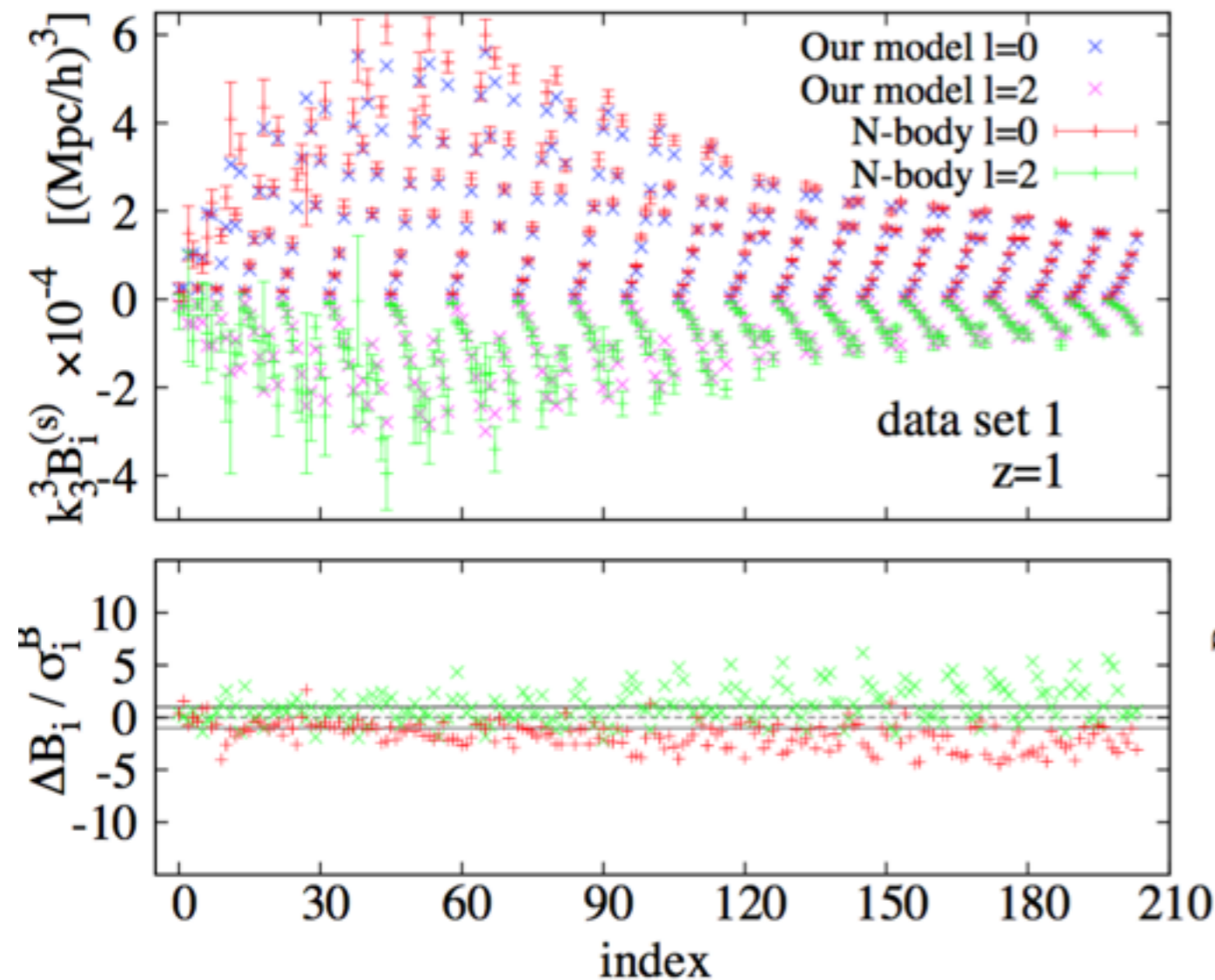
$$\Delta P_i = P_{\text{TNS}}^{(s)}(k_i) - P_{\text{sim}}^{(s)}(k_i)$$

σ_i^P : N体の標準誤差

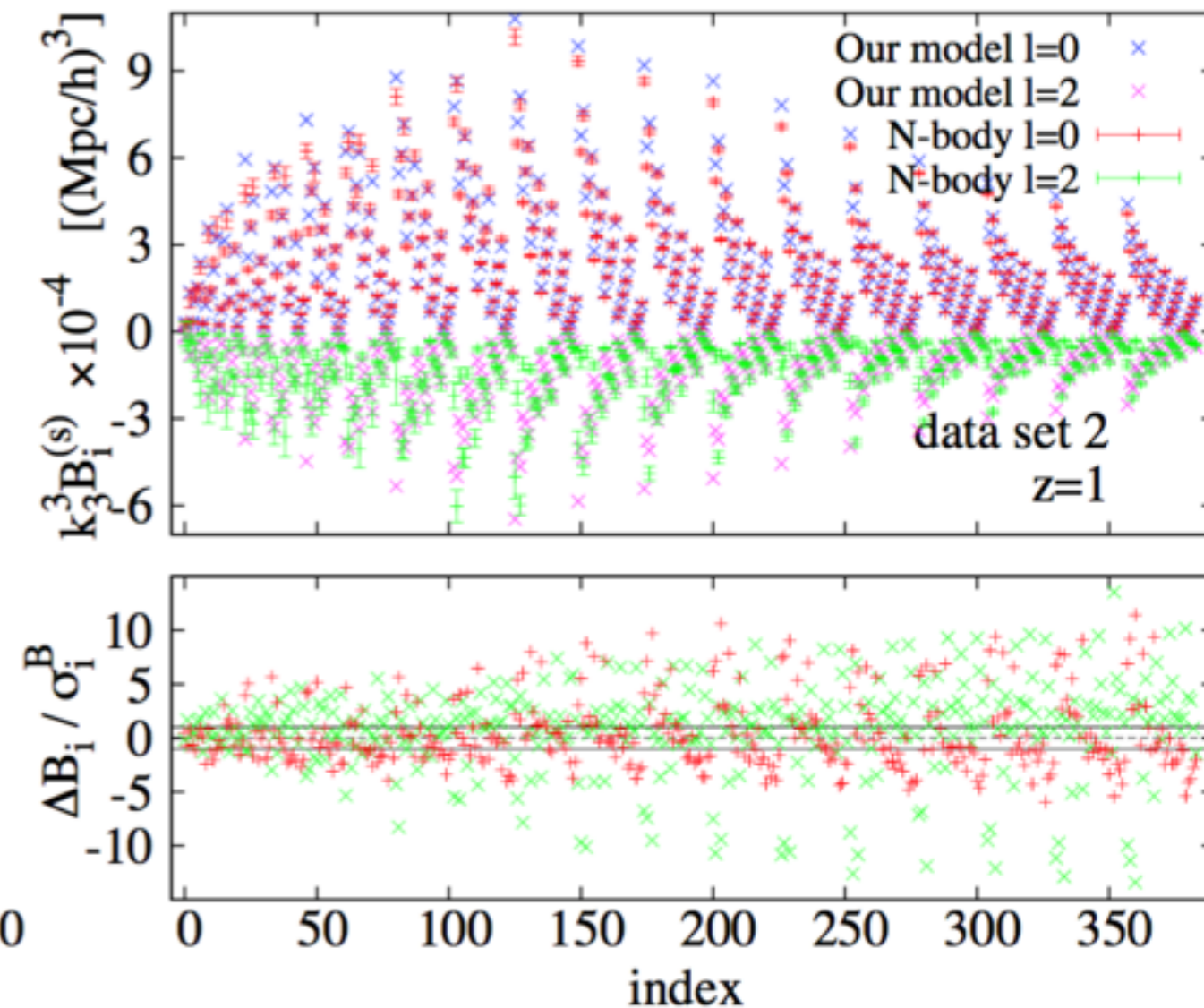
- 大スケールほどTNSモデルとN体は一致する
- 四重極成分のジグザグはbin内のモードの離散性による

Halo bispectrum

鋭角三角形



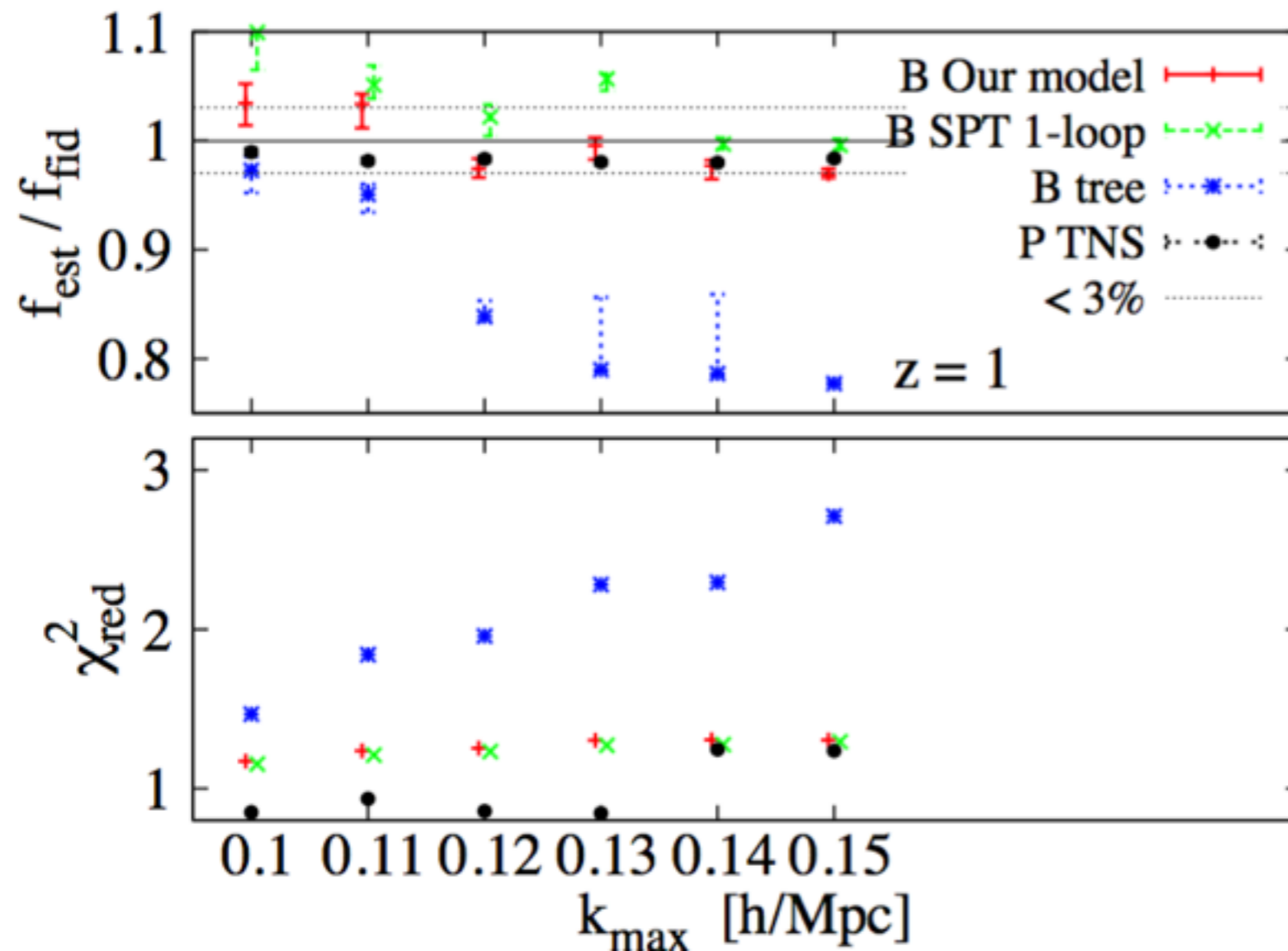
鈍角三角形



細長い三角形でシミュレーションと大きな誤差が生じる
→ 理論、測定ともに問題があるのでこれらを除いて統計解析を行う

Estimation of growth rate

750個の三角形($\cos \theta_{12} > -0.9, k_2 + k_3 - k_1 < 3\Delta k/2$)に対して統計解析を実施



f_{fid} : 真の成長率

f_{est} : 推定した成長率

- バイスpekトル単体でも $< 3\%$ の精度で成長率を決定できる
- 1-loopからの寄与は、推定精度を大きく向上させる

Combined constraint

$$k_{\max} = 0.15 h\text{Mpc}^{-1}$$

$V_{\text{surv}} = 1 h^{-3}\text{Gpc}^3$, $z = 1$ の観測領域を仮定

e.g. Subaru PFS: $1.0 < z < 1.2$, $V_{\text{surv}} = 0.96 h^{-3}\text{Gpc}^3$

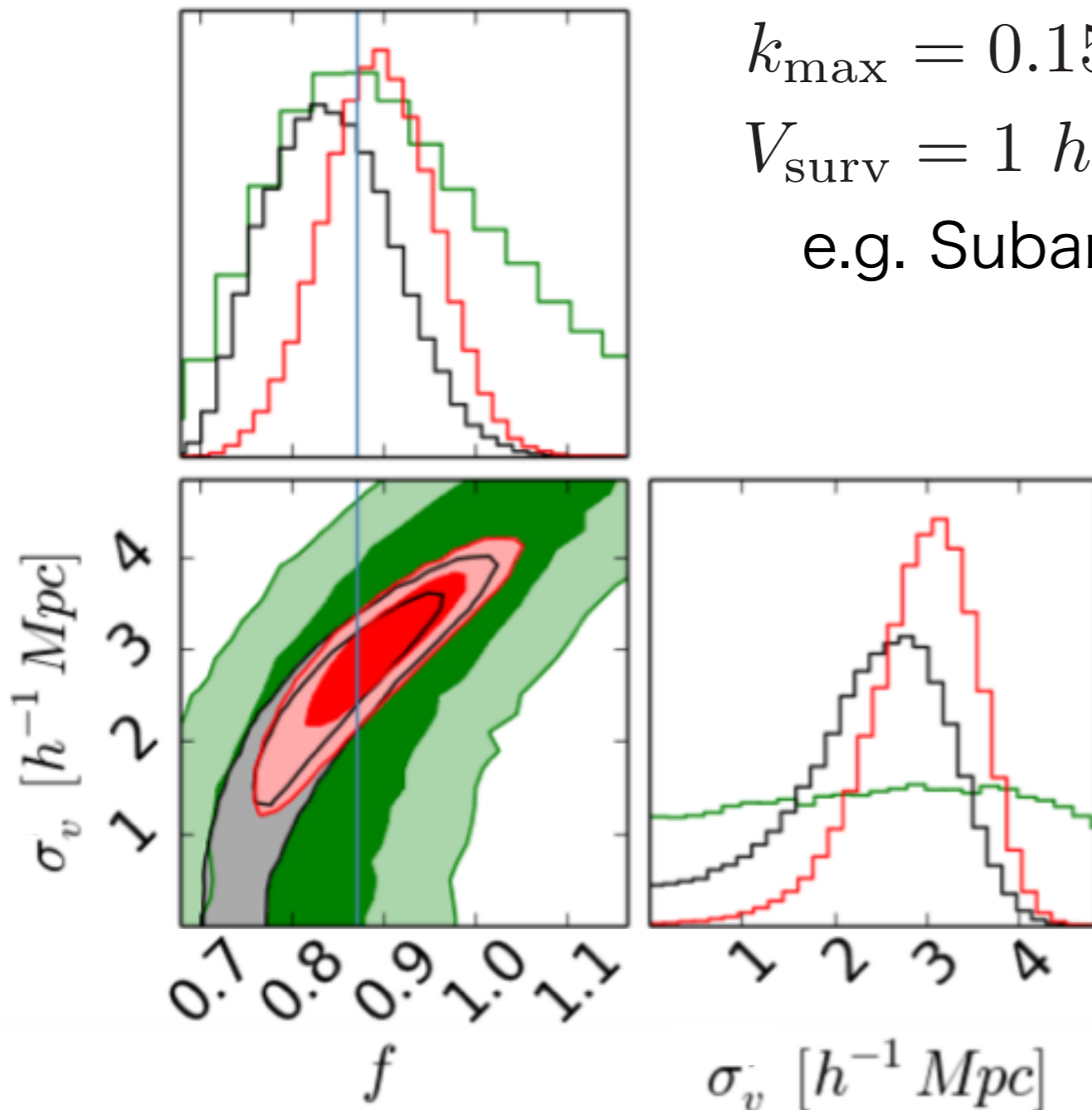
真の値は 1σ の範囲内

成長率の制限は17%強まる

(全ての三角形を加えると30%以上)

Hector et al. 2016と同程度

- ・ バイスpekトルは単極成分のみ
- ・ $k_{\max} = 0.22 h^{-1}\text{Mpc}$



我々の理論モデルを用いれば、より大きなスケールに限っても、従来と同程度制限を強めることができる

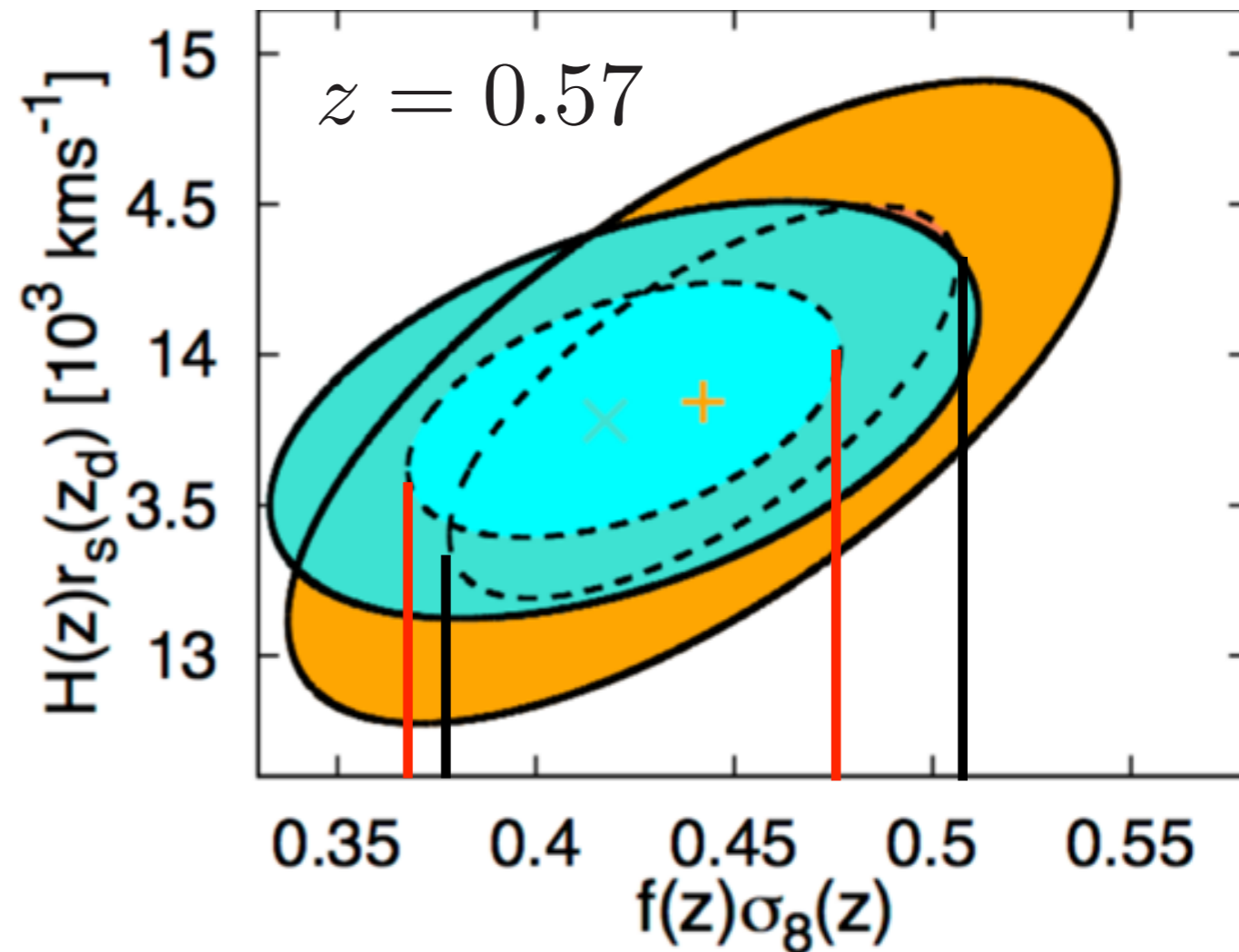
C.f. previous work

Hector et al. (2016)

Boss CMASS sample
から重力テストを行った

■ $P^{(0)}+P^{(2)}$; $k_{\max}=0.23 \text{ hMpc}^{-1}$
■ $P^{(0)}+P^{(2)}+B^{(0)}$; $k_{\max}=0.22 \text{ hMpc}^{-1}$

σ_8 : パワースペクトルの振幅
を決める量



- バイスペクトルの単極成分を加え、成長率の制限を~15%改善
- 理論モデルはシミュレーションに基づくフィット関数
- パワースペクトルと組み合わせても、5%の系統誤差が生じうる

Discussion

理論テンプレートの改良

$$B^{(s)}(\mathbf{k}_1, \mathbf{k}_2, \mathbf{k}_3) = D_{\text{FoG}}(\mathbf{k}_1, \mathbf{k}_2, \mathbf{k}_3) B'_{\text{PT}}(\mathbf{k}_1, \mathbf{k}_2, \mathbf{k}_3)$$

- 非線形なバイアスモデル
- 摂動論部分の改良（くりこみ計算への拡張と高速化）
- bin内部の離散性の取り入れ

A-P効果の影響

バイスペクトル測定法の改良

- 細長い三角形（squeezed, folded）の測定方法の改善
- 新しい分解方法を用いた測定

データ解析方法の改良

- エラー共分散（クロスコバリアンス）の影響